

# Uma Introdução aos Algoritmos Quânticos\*

Renato Portugal<sup>1</sup>, Carlile C. Lavor<sup>2</sup>, Luiz M. Carvalho<sup>2</sup>, Nelson Maculan<sup>3</sup>

<sup>1</sup>Laboratório Nacional de Computação Científica - LNCC  
Av. Getúlio Vargas 33  
25651-070, Petrópolis - RJ, Brasil.

<sup>2</sup>Instituto de Matemática e Estatística  
Universidade do Estado do Rio de Janeiro  
Rua São Francisco Xavier 524, 6º andar, bl. D  
20550-900, Rio de Janeiro - RJ, Brasil.

<sup>3</sup>Programa de Engenharia de Sistemas e Computação - COPPE  
Universidade Federal do Rio de Janeiro - UFRJ  
C. P. 68511  
21945-970, Rio de Janeiro - RJ, Brasil

portugal@lncc.br, {carlile, luizmc}@ime.uerj.br,  
maculan@cos.ufrj.br

**Resumo.** Apresentamos um estudo de algoritmos quânticos de busca e introduzimos alguns conceitos fundamentais de computação quântica.

## 1 Introdução

Trata-se de um estudo introdutório aos algoritmos quânticos. Esse é um domínio recente, que combina três áreas bem conhecidas: matemática, física e computação.

Apesar de desejável, nenhum conhecimento prévio sobre física ou computação é necessário. Quanto à matemática, a principal exigência é um curso básico de álgebra linear.

O texto tem como base um livro dos mesmos autores (Portugal, Lavor, Carvalho & Maculan 2004) e está dividido, além dessa, em mais três seções. Na Seção 1,

---

\*Mini-curso apresentado na IV Escola Regional de Informática do Rio de Janeiro/Espírito Santo da Sociedade Brasileira de Computação de 19 a 21 de novembro de 2004.

fazemos uma breve exposição sobre computadores clássicos (Subseção 1.1) e apresentamos os conceitos básicos usados no texto (Subseção 1.2). Comparamos, rapidamente, computadores clássicos e quânticos na Subseção 1.1 (essa discussão será mais útil para aqueles com algum conhecimento de computação). A Subseção 1.2 é fundamental para todo o trabalho e deverá ser consultada constantemente.

Na Seção 2, descrevemos alguns dos circuitos quânticos utilizados na seção seguinte. Na Seção 3, descrevemos um dos algoritmos mais divulgados em computação quântica: o algoritmo de Grover.

Agradecemos o apoio do Programa Institutos do Milênio (Informação Quântica), da FAPERJ e do CNPq.

## Conteúdo

<b>1</b>	<b>Introdução</b>	<b>1</b>
<b>1</b>	<b>Conceitos Básicos</b>	<b>3</b>
1.1	O Computador Clássico . . . . .	3
1.2	O Computador Quântico . . . . .	6
1.2.1	O bit quântico (q-bit) . . . . .	6
1.2.2	Produto tensorial . . . . .	10
1.2.3	Produtos interno e externo . . . . .	14
<b>2</b>	<b>Circuitos Quânticos</b>	<b>16</b>
2.1	Notação e Convenções . . . . .	16
2.2	Porta NOT Quântica . . . . .	17
2.3	Porta Hadamard . . . . .	18
2.4	Porta de Fase ou Porta S . . . . .	19
2.5	Porta $\pi/8$ ou Porta T . . . . .	19
2.6	Porta CNOT Quântica . . . . .	20
2.7	Porta Toffoli Quântica . . . . .	21
<b>3</b>	<b>Algoritmo de Grover</b>	<b>24</b>
3.1	Introdução . . . . .	24
3.2	Operadores do Algoritmo . . . . .	24
3.3	Custo Computacional do Algoritmo . . . . .	34
3.4	Exemplo: $N=8$ . . . . .	39
3.5	Circuitos Quânticos para o Operador $G$ . . . . .	42
3.5.1	Circuito quântico para o operador $U_f$ . . . . .	42
3.5.2	Circuito quântico para o operador $2 \psi\rangle\langle\psi  - I$ . . . . .	42

# 1 Conceitos Básicos

## 1.1 O Computador Clássico

Um computador clássico pode ser descrito de forma bastante genérica como uma máquina que lê um certo conjunto de dados, codificado em zeros e uns, executa cálculos e gera uma saída também codificada em zeros e uns. Zeros e uns são estados que podem ser representados fisicamente. No caso dos computadores clássicos, através do potencial elétrico: 0 é um estado de baixo potencial elétrico e 1 é um estado de alto potencial elétrico.

Zeros e uns formam um número binário que pode ser convertido para a base decimal. Pensemos, então, num computador como um dispositivo que calcula uma função  $f : \{0, \dots, N - 1\} \rightarrow \{0, \dots, N - 1\}$ , onde  $N = 2^n$  ( $n$  é o número de bits usados na memória do computador). Sem perda de generalidade, consideremos que o domínio e a imagem de  $f$  são do mesmo tamanho. A cada conjunto de  $n$  bits de entrada, corresponde um único conjunto de  $n$  bits de saída, o que caracteriza  $f$  como uma função. Representamos o processo de cálculo na Figura 1, onde à esquerda, temos os bits de entrada e à direita, os de saída (o processo de cálculo ocorre da esquerda para a direita).

Em geral,  $f$  é descrita por blocos elementares que podem ser implementados fisicamente por transistores e outros componentes eletrônicos. Os blocos são as portas lógicas AND, OR e NOT, conhecidas como portas universais (na verdade, basta apenas a porta NOT e uma das duas outras portas, OR ou AND). Por exemplo, um exemplo de circuito que realiza a soma em aritmética módulo 2 de dois números, cada um com um bit, é apresentado na Figura 2. As entradas possíveis são 00, 01, 10 ou 11. As entradas são produzidas através de diferenças de potencial elétrico que geram corrente elétrica. Por sua vez, a corrente se propaga através dos fios, da esquerda para a direita, ativando as portas lógicas. Os símbolos de medida, à direita, representam que medidas de corrente são realizadas, indicando o valor de cada bit: 0 ou 1. O bit, na posição inferior, dá o resultado da operação. O fio para o bit da posição superior é desnecessário, sendo utilizado apenas para exibir a mesma quantidade de bits de entrada e saída.

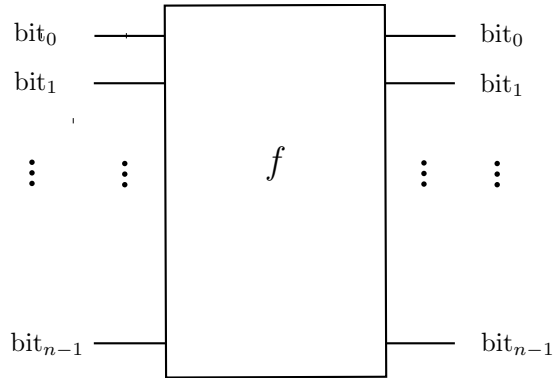


Figura 1: Esquema genérico para um computador clássico.

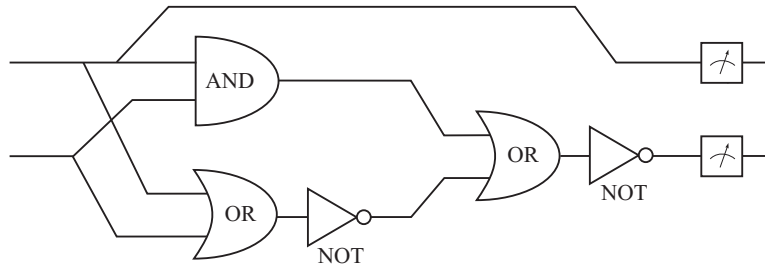


Figura 2: Circuito para realizar a soma de dois números, em aritmética módulo 2, cada um com um bit.

O circuito da Figura 2 é irreversível, pois as portas AND e OR são irreversíveis. Isso significa, no caso da porta AND, que se a saída for 0, não se sabe quais os valores dos dois bits de entrada. Para a porta OR, ocorre o mesmo, caso a saída seja 1. As portas AND e OR, descritas dessa forma, não podem ser representadas por portas quânticas, pois como veremos, são reversíveis.

No entanto, o circuito apresentado na Figura 2 pode ser transformado em um equivalente reversível. Para tanto, vamos utilizar a porta CNOT, representada na Figura 3. O valor do bit superior (chamado bit de controle) nunca muda nessa porta, enquanto que o bit inferior (chamado bit alvo) é alterado apenas se  $a = 1$ . Se  $a = 0$ , nada acontece a ambos os bits (no caso quântico, que será visto adiante, o comportamento é bem diferente). A porta CNOT é uma porta NOT, controlada pelo valor do bit superior. Podemos verificar que o valor do bit inferior de saída é dado por  $a + b \pmod{2}$ .

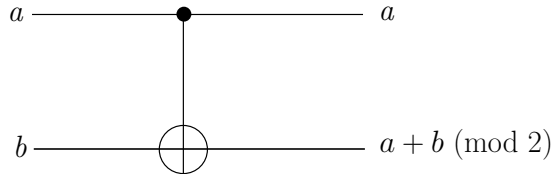


Figura 3: Porta CNOT.

Generalizando a porta CNOT, usando dois bits de controle no lugar de apenas um, temos a porta Toffoli (Figura 4), que pode ser usada para obter a contrapartida reversível da porta AND.

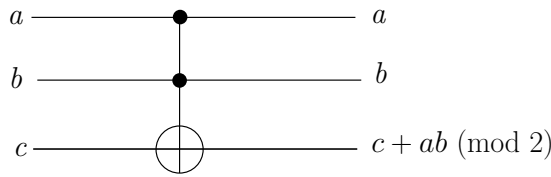


Figura 4: Porta Toffoli.

O valor do bit inferior (o bit alvo) é invertido apenas se  $a$  e  $b$  valem 1. Caso contrário, nada é alterado. A seguir, descrevemos todas as possíveis entradas e as saídas correspondentes:

000	→	000
001	→	001
010	→	010
011	→	011
100	→	100
101	→	101
110	→	111
111	→	110

A porta AND pode ser representada por uma porta Toffoli colocando  $c = 0$ . A saída do bit inferior será, então,  $a$  AND  $b$ . Para obter o equivalente reversível para a porta OR, consulte (Nielsen & Chuang 2000).

Ainda na Figura 2, observe que há uma bifurcação de fios e não há problema algum em fazê-lo classicamente. Entretanto, isso não é possível em circuitos quânticos, devido ao teorema de “não clonagem” (veja (Preskill 1998), p. 162). Verifique que esse efeito pode ser obtido através de uma porta CNOT, colocando  $b = 0$ . Com isso, o valor do bit superior será duplicado.

Consideremos, novamente, a Figura 1. Se o computador tem  $n$  bits de entrada, há  $2^n$  entradas possíveis, e, para cada uma delas, há também  $2^n$  saídas possíveis.

Com isso, o número de funções que pode ser obtido é  $(2^n)^{2^n}$ , ou seja,  $2^{n2^n}$ . Todas essas funções podem ser reduzidas a circuitos usando as portas universais (Nielsen & Chuang 2000, Pittenger 2001).

Uma questão fundamental é a “velocidade” com que um computador calcula essas funções. Isso dependerá do número de portas usadas no circuito que calcula  $f$ . Se o número de portas cresce polinomialmente com  $n$ , dizemos que o circuito é eficiente. Por outro lado, se o número de portas cresce exponencialmente com  $n$ , dizemos que o circuito é ineficiente. Esse é um método grosseiro de medida de eficiência, mas útil para a análise teórica quando  $n$  é grande.

Todos os cálculos realizados em um computador clássico também podem ser efetuados em computadores quânticos. Basta substituímos as portas irreversíveis clássicas pelas homólogas reversíveis quânticas. Entretanto, o atrativo da computação quântica é a possibilidade de se ter algoritmos quânticos mais rápidos que os clássicos, para uma mesma classe de problemas. Para tanto, os algoritmos quânticos devem usar propriedades quânticas, não disponíveis nos computadores clássicos, como o paralelismo quântico e o emaranhamento.

## 1.2 O Computador Quântico

### 1.2.1 O bit quântico (q-bit)

Em computação quântica, utilizam-se estados quânticos em vez de estados clássicos. O bit é, então, substituído pelo bit quântico, o *q-bit*, e os valores 0 e 1 de um bit são substituídos pelos vetores  $|0\rangle$  e  $|1\rangle$ , representados por

$$|0\rangle = \begin{bmatrix} 1 \\ 0 \end{bmatrix} \quad \text{e} \quad |1\rangle = \begin{bmatrix} 0 \\ 1 \end{bmatrix}.$$

Essa notação, utilizada em mecânica quântica, é conhecida por notação de Dirac.

A diferença entre um bit e um q-bit é que um q-bit genérico  $|\psi\rangle$  pode também ser uma combinação linear dos vetores  $|0\rangle$  e  $|1\rangle$ , ou seja,

$$|\psi\rangle = \alpha|0\rangle + \beta|1\rangle, \tag{1}$$

onde  $\alpha$  e  $\beta$  são números complexos. Note que os vetores  $|0\rangle$  e  $|1\rangle$  formam uma base ortonormal do espaço vetorial  $\mathbb{C}^2$ . Essa base é chamada de *base computacional* e o vetor  $|\psi\rangle$  é chamado de *superposição* dos vetores  $|0\rangle$  e  $|1\rangle$ , com *amplitudes*  $\alpha$  e  $\beta$ . Em mecânica quântica, vetor é também chamado de *estado*. Usaremos os dois termos com o mesmo significado.

A interpretação física do q-bit, em (1), é que ele está simultaneamente nos estados  $|0\rangle$  e  $|1\rangle$ . Isso faz com que a quantidade de informação que pode ser armazenada no estado  $|\psi\rangle$  seja infinita. Entretanto, essa informação está no nível quântico. Para torná-la acessível, no nível clássico, precisamos fazer uma medida. A mecânica quântica diz que o processo de medida altera o estado de um q-bit,

fazendo-o assumir o estado  $|0\rangle$ , com probabilidade  $|\alpha|^2$ , ou o estado  $|1\rangle$ , com probabilidade  $|\beta|^2$  (isso significa que os valores  $\alpha$  e  $\beta$  não podem ser conhecidos através de uma medida). Com apenas duas possibilidades,  $|0\rangle$  ou  $|1\rangle$ , temos, então,

$$|\alpha|^2 + |\beta|^2 = 1. \quad (2)$$

Isso significa que a norma do vetor  $|\psi\rangle$  vale 1 (vetor unitário). Resumindo: matematicamente, um q-bit é um vetor de norma 1 de  $\mathbb{C}^2$ .

Na verdade, a definição da base computacional deveria ser

$$|0\rangle = \begin{bmatrix} (1, 0) \\ (0, 0) \end{bmatrix} \quad \text{e} \quad |1\rangle = \begin{bmatrix} (0, 0) \\ (1, 0) \end{bmatrix},$$

pois todas as coordenadas são números complexos. Para simplificar a notação, usaremos 1 para representar (1,0) e 0 para representar (0,0).

Na equação (2), considere  $\alpha = a + i b$  ( $a, b \in \mathbb{R}$ ) e  $\beta = c + i d$  ( $c, d \in \mathbb{R}$ ). Como  $|\alpha|^2 = (\sqrt{a^2 + b^2})^2$  e  $|\beta|^2 = (\sqrt{c^2 + d^2})^2$ , podemos escrever

$$a^2 + b^2 + c^2 + d^2 = 1. \quad (3)$$

Nesse caso, podemos interpretar um q-bit como sendo um vetor unitário de  $\mathbb{R}^4$ . Entretanto, existe uma representação geométrica de um q-bit em  $\mathbb{R}^3$ : a *esfera de Bloch* (Figura 5). Para tanto, passemos o q-bit

$$|\psi\rangle = \alpha|0\rangle + \beta|1\rangle, \quad (4)$$

de coordenadas cartesianas para coordenadas polares (como anteriormente,  $\alpha = a + i b$  e  $\beta = c + i d$  ( $a, b, c, d \in \mathbb{R}$ )). Usando as representações polares de  $\alpha$  e  $\beta$ ,

$$\alpha = |\alpha| \exp(i\gamma) \quad \text{e} \quad \beta = |\beta| \exp(i(\gamma + \varphi)),$$

e definindo

$$\cos(\theta/2) = |\alpha| \quad \text{e} \quad \sin(\theta/2) = |\beta|,$$

ou ainda

$$\begin{aligned} \theta &= 2 \arccos(\sqrt{a^2 + b^2}) = 2 \arcsen(\sqrt{c^2 + d^2}), \\ \varphi &= \arg(\beta) - \arg(\alpha), \\ \gamma &= \arg(\alpha), \end{aligned} \quad (5)$$

podemos, finalmente, escrever

$$|\psi\rangle = \exp(i\gamma)[\cos(\theta/2) |0\rangle + \exp(i\varphi) \sin(\theta/2) |1\rangle]. \quad (6)$$

**EXERCÍCIO 1.1** Usando as definições dadas em (5), demonstre que a expressão (4) pode ser escrita na forma (6).

Para fins de representação, vamos desconsiderar o termo externo aos colchetes,  $\exp(i\gamma)$ , também chamado *fator de fase global*. Uma razão que permite essa simplificação é que o valor do quadrado do módulo das amplitudes de um q-bit não se altera, quando excluímos esse fator. Por exemplo:

$$|\alpha|^2 = |\exp(i\gamma) \cos(\theta/2)|^2 = |\exp(i\gamma)|^2 |\cos(\theta/2)|^2 = |\cos(\theta/2)|^2,$$

o mesmo ocorrendo com  $|\beta|^2$  (para um tratamento detalhado desse fato, consulte (Nielsen & Chuang 2000), p. 93). Ficamos, então, com uma representação de três parâmetros: dois explícitos,  $\theta$  e  $\varphi$ , e um implícito, o comprimento do vetor, que é sempre igual a um. Esses parâmetros podem ser utilizados para obtermos uma representação polar no  $\mathbb{R}^3$ , da forma

$$\begin{bmatrix} x \\ y \\ z \end{bmatrix} = \begin{bmatrix} \cos \varphi \sin \theta \\ \sin \varphi \sin \theta \\ \cos \theta \end{bmatrix},$$

onde  $0 \leq \theta \leq \pi$  e  $0 \leq \varphi < 2\pi$ .

Usando essas convenções, a representação da base computacional, na esfera de Bloch (Figura 5), será:

$$|0\rangle = \begin{bmatrix} 0 \\ 0 \\ 1 \end{bmatrix} \quad \text{e} \quad |1\rangle = \begin{bmatrix} 0 \\ 0 \\ -1 \end{bmatrix}.$$

Ou seja,  $|0\rangle$  será o pólo norte da esfera e  $|1\rangle$  será seu pólo sul.

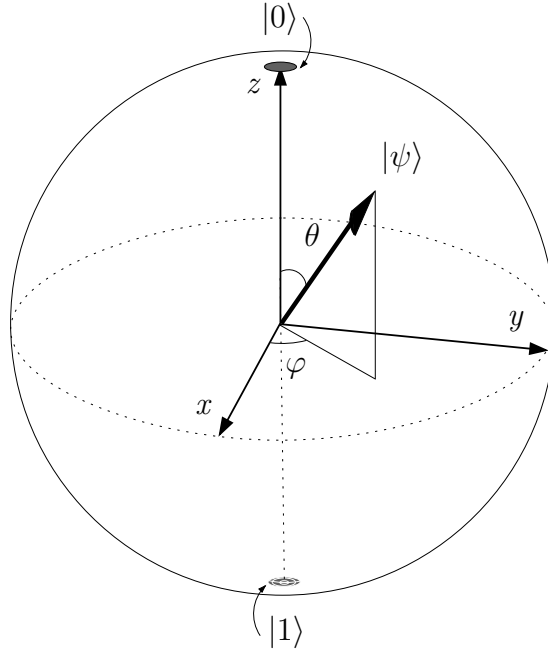


Figura 5: Esfera de Bloch.



Dessa forma, todos os estados de um q-bit podem ser representados (a menos de um fator multiplicativo) na esfera de Bloch. Por exemplo, os estados  $\frac{1}{\sqrt{2}}(|0\rangle + |1\rangle)$  e  $\frac{1}{\sqrt{2}}(|0\rangle - |1\rangle)$ , que serão utilizados mais à frente, são representados por  $(1, 0, 0)$  e  $(-1, 0, 0)$ , respectivamente.

**EXERCÍCIO 1.2** Dê uma interpretação, em termos de amplitudes e probabilidades, para os estados representados na interseção entre o plano  $(x, y, 0)$  e a esfera de Bloch.

Insistimos que não se pode calcular exatamente os valores de  $|\alpha|$  ou  $|\beta|$ , em (4), mesmo que haja uma grande quantidade de estados  $|\psi\rangle$  de mesmo valor. Vejamos por quê. Após serem feitas repetidas medidas dos estados com valores iguais a  $|\psi\rangle$ , teremos apenas os resultados  $|0\rangle$  ou  $|1\rangle$ . Através da quantidade de  $|0\rangle$ 's e  $|1\rangle$ 's encontrados, teremos um valor aproximado para os valores  $|\alpha|^2$  e  $|\beta|^2$ . Não podemos garantir sua exatidão, pois trata-se de probabilidades. E mais, se para sabermos o valor dos “coeficientes” de um simples q-bit, com uma precisão razoável, precisássemos de um número enorme de medidas repetidas de q-bits com mesmo valor, provavelmente haveria pouco interesse em computadores quânticos.

Essa seria uma situação paradoxal, pois apenas medindo estados que forneçam os resultados  $|0\rangle$  ou  $|1\rangle$ , não ultrapassaríamos os marcos da computação clássica. Ou seja, apesar da quantidade infinita de informação que um q-bit guardaria em potencial, apenas dois valores seriam acessados por nós. No entanto, há outro tipo de fenômeno que ocorre com um estado quântico, além daquele ocasionado por sua medida. A mecânica quântica também nos diz que a evolução no tempo de um sistema quântico isolado é descrita matematicamente por uma transformação linear (Nielsen & Chuang 2000). Ora, sistemas quânticos isolados são descritos por vetores unitários, e, como sabemos da álgebra linear, as funções que transformam vetores unitários em vetores unitários do mesmo espaço vetorial são as *transformações unitárias*.

Transformações lineares unitárias  $U$  podem ser definidas (há outras definições equivalentes) como aquelas que atendam à seguinte propriedade:

$$U^\dagger U = U U^\dagger = I,$$

onde  $U^\dagger = (U^*)^T$ , com  $*$  indicando a conjugação complexa, e  $T$  indicando a transposição matricial.  $U^\dagger$  é denominada *transformação adjunta* de  $U$ . Desse ponto em diante, faremos referência indistintamente à transformação  $U$  e à matriz que a representa usando a mesma notação, salvo indicação explícita. Usaremos, também, o termo operador com esse mesmo significado. Com isso, quando escrevermos  $U|\psi\rangle$ , estaremos falando tanto da aplicação de  $U$ , quanto da multiplicação da matriz  $U$  pelo estado  $|\psi\rangle$ .

Resumindo: temos, então, duas interações básicas de um computador quântico com os dados de entrada: transformação unitária e medida. A primeira, atuando

no nível quântico, e a segunda, fazendo a ligação entre o mundo quântico e o clássico.

### 1.2.2 Produto tensorial

Para considerarmos estados com mais de um q-bit, precisamos introduzir o conceito de *produto tensorial*. Há vários graus de generalidade para a introdução dessa definição. Usaremos, aqui, a mais simples e que será plenamente suficiente para os nossos propósitos.

O produto tensorial de dois estados

$$|\psi\rangle = \begin{bmatrix} \psi_1 \\ \psi_2 \\ \vdots \\ \psi_m \end{bmatrix} \quad \text{e} \quad |\varphi\rangle = \begin{bmatrix} \varphi_1 \\ \varphi_2 \\ \vdots \\ \varphi_p \end{bmatrix},$$

denotado por  $|\psi\rangle \otimes |\varphi\rangle$ , tem como resultado o estado  $|\chi\rangle$  com  $mp$ -linhas, dado por

$$|\chi\rangle = \begin{bmatrix} \psi_1\varphi_1 \\ \psi_1\varphi_2 \\ \vdots \\ \psi_1\varphi_p \\ \psi_2\varphi_1 \\ \psi_2\varphi_2 \\ \vdots \\ \psi_2\varphi_p \\ \vdots \\ \psi_m\varphi_1 \\ \psi_m\varphi_2 \\ \vdots \\ \psi_m\varphi_p \end{bmatrix}, \quad (7)$$

onde  $\psi_i\varphi_j$  é o produto usual dos complexos.

Usaremos, também, outras notações mais simplificadas para o produto tensorial  $|\psi\rangle \otimes |\varphi\rangle$ . São elas:  $|\psi\rangle|\varphi\rangle$ ,  $|\psi, \varphi\rangle$  e  $|\psi\varphi\rangle$ . Por exemplo:

$$|01\rangle = |0\rangle \otimes |1\rangle = \begin{bmatrix} 1 \\ 0 \end{bmatrix} \otimes \begin{bmatrix} 0 \\ 1 \end{bmatrix} = \begin{bmatrix} 0 \\ 1 \\ 0 \\ 0 \end{bmatrix}$$

e

$$|10\rangle = |1\rangle \otimes |0\rangle = \begin{bmatrix} 0 \\ 1 \end{bmatrix} \otimes \begin{bmatrix} 1 \\ 0 \end{bmatrix} = \begin{bmatrix} 0 \\ 0 \\ 1 \\ 0 \end{bmatrix}.$$

Note que o produto tensorial não é comutativo.

O produto tensorial pode ser estendido para matrizes quaisquer. Dadas as matrizes  $A \in \mathbb{C}^{m \times n}$  e  $B \in \mathbb{C}^{p \times q}$ , a matriz  $A \otimes B \in \mathbb{C}^{mp \times nq}$  é definida por

$$A \otimes B = \begin{bmatrix} A_{11}B & A_{12}B & \cdots & A_{1n}B \\ A_{21}B & A_{22}B & \cdots & A_{2n}B \\ \vdots & \vdots & \ddots & \vdots \\ A_{m1}B & A_{m2}B & \cdots & A_{mn}B \end{bmatrix}, \quad (8)$$

onde  $A_{ij}$  é o elemento da linha  $i$  e da coluna  $j$  de  $A$ . De forma mais precisa, porém mais criptográfica, cada elemento da matriz  $A \otimes B$  é definido por

$$(A \otimes B)_{rs} = A_{ij}B_{kl}, \quad (9)$$

onde  $r = (i-1)p + k$  e  $s = (j-1)q + l$ , com os índices variando da seguinte forma:  $1 \leq i \leq m$ ,  $1 \leq j \leq n$ ,  $1 \leq k \leq p$ ,  $1 \leq l \leq q$ .

Por exemplo, se

$$A = \begin{bmatrix} 0 & 1 \\ 1 & 0 \end{bmatrix} \quad \text{e} \quad B = \begin{bmatrix} 1 & 0 & 0 \\ 0 & 1 & 0 \\ 0 & 0 & 1 \end{bmatrix},$$

então

$$A \otimes B = \begin{bmatrix} 0 & 1 \\ 1 & 0 \end{bmatrix} \otimes \begin{bmatrix} 1 & 0 & 0 \\ 0 & 1 & 0 \\ 0 & 0 & 1 \end{bmatrix} = \begin{bmatrix} 0 & 0 & 0 & 1 & 0 & 0 \\ 0 & 0 & 0 & 0 & 1 & 0 \\ 0 & 0 & 0 & 0 & 0 & 1 \\ 1 & 0 & 0 & 0 & 0 & 0 \\ 0 & 1 & 0 & 0 & 0 & 0 \\ 0 & 0 & 1 & 0 & 0 & 0 \end{bmatrix}.$$

A seguir, damos algumas propriedades do produto tensorial que serão utilizadas ao longo do texto (considere  $z \in \mathbb{C}$ ,  $v, v_1, v_2 \in \mathbb{C}^n$  e  $w, w_1, w_2 \in \mathbb{C}^m$ ):

1.  $z(|v\rangle \otimes |w\rangle) = (z|v\rangle) \otimes |w\rangle = |v\rangle \otimes (z|w\rangle)$ ,
2.  $(|v_1\rangle + |v_2\rangle) \otimes |w\rangle = (|v_1\rangle \otimes |w\rangle) + (|v_2\rangle \otimes |w\rangle)$ ,
3.  $|v\rangle \otimes (|w_1\rangle + |w_2\rangle) = (|v\rangle \otimes |w_1\rangle) + (|v\rangle \otimes |w_2\rangle)$ .

**EXERCÍCIO 1.3** Demonstre as propriedades 1, 2 e 3 do produto tensorial.

Dadas duas transformações lineares  $A$  e  $B$ , podemos definir um novo operador linear,  $A \otimes B$ , por

$$(A \otimes B)(|u\rangle \otimes |v\rangle) = A|u\rangle \otimes B|v\rangle, \quad (10)$$

desde que garantidas as dimensões corretas para possibilitar as multiplicações das matrizes pelos vetores.

Ainda, introduzindo mais algumas notações, diremos que  $|\psi\rangle^{\otimes n}$  e  $A^{\otimes n}$  são os produtos tensoriais de  $|\psi\rangle$ , por ele próprio  $n$  vezes, e de  $A$ , por ela própria  $n$  vezes, respectivamente.

Vejamos, agora, a descrição de um estado genérico  $|\psi\rangle$  de 2 q-bits. Esse será uma superposição dos estados  $|00\rangle$ ,  $|01\rangle$ ,  $|10\rangle$  e  $|11\rangle$  (estamos usando a notação simplificada para o produto tensorial entre dois estados de 1 q-bit), ou seja,

$$|\psi\rangle = \alpha|00\rangle + \beta|01\rangle + \gamma|10\rangle + \delta|11\rangle, \quad (11)$$

onde

$$|\alpha|^2 + |\beta|^2 + |\gamma|^2 + |\delta|^2 = 1.$$

Visando a reduzir a notação, podemos considerar os zeros e uns que aparecem na equação (11) como números binários, e assim,

$$|00\rangle, |01\rangle, |10\rangle, |11\rangle$$

podem ser abreviados por

$$|0\rangle, |1\rangle, |2\rangle, |3\rangle,$$

usando a notação decimal. É claro que o  $|0\rangle$  acima não é o mesmo que aparece na definição de um q-bit, pois têm dimensões diferentes. Em cada caso, o contexto esclarecerá a que situação estamos nos referindo.

Em geral, um estado  $|\psi\rangle$  de  $n$  q-bits é uma superposição de  $2^n$  estados da base computacional  $\{|0\rangle, |1\rangle, \dots, |2^n - 1\rangle\}$ , dada por

$$|\psi\rangle = \sum_{i=0}^{2^n-1} \alpha_i |i\rangle,$$

com as amplitudes  $\alpha_i$  atendendo a

$$\sum_{i=0}^{2^n-1} |\alpha_i|^2 = 1.$$

Como havíamos comentado anteriormente, a medição do estado genérico  $|\psi\rangle$  produz um resultado  $|i_0\rangle$  com probabilidade  $|\alpha_{i_0}|^2$ , com  $0 \leq i_0 \leq 2^n - 1$ . Usualmente, a medida é realizada q-bit a q-bit, produzindo zeros e uns que são lidos em conjunto, gerando a saída  $|i_0\rangle$ . Repetiremos, aqui, uma propriedade central do processo de medida. O estado  $|\psi\rangle$ , antes da medição, é inacessível, a não

ser que ele pertença à base computacional. O procedimento de medida altera inevitavelmente  $|\psi\rangle$ , forçando-o a um colapso para algum dos vetores da base computacional. Este colapso, como vimos, é não-determinístico, com probabilidades dadas pelos quadrados dos módulos das amplitudes de  $|\psi\rangle$ .

Consideremos, agora, outro conceito fundamental em computação quântica: o *emaranhamento*. Um estado de 2 q-bits pode ou não ser o resultado do produto tensorial de estados de 1 q-bit. Vejamos. Considere os estados de 1 q-bit

$$|\varphi\rangle = a|0\rangle + b|1\rangle$$

e

$$|\psi\rangle = c|0\rangle + d|1\rangle,$$

onde  $a, b, c, d \in \mathbb{C}$ . O estado definido pelo produto tensorial de  $|\varphi\rangle$  e  $|\psi\rangle$  é

$$\begin{aligned} |\varphi\rangle \otimes |\psi\rangle &= (a|0\rangle + b|1\rangle) \otimes (c|0\rangle + d|1\rangle) \\ &= ac|00\rangle + ad|01\rangle + bc|10\rangle + bd|11\rangle. \end{aligned} \quad (12)$$

Observe que um estado de 2 q-bits genérico (11) é da forma (12) se, e somente se,

$$\begin{aligned} \alpha &= ac, \\ \beta &= ad, \\ \gamma &= bc, \\ \delta &= bd. \end{aligned}$$

Dessas igualdades, temos que

$$\frac{\alpha}{\beta} = \frac{c}{d} \quad \text{e} \quad \frac{\gamma}{\delta} = \frac{c}{d}.$$

Ou seja,

$$\alpha\delta = \beta\gamma.$$

Logo, um estado de 2 q-bits, em geral, não é o produto tensorial de estados de 1 q-bit. Quando isso acontece, dizemos que o estado está emaranhado. Por exemplo, o estado  $|01\rangle$  pode, obviamente, ser descrito como produto tensorial dos estados  $|0\rangle$  e  $|1\rangle$ , isto é,

$$|01\rangle = \begin{bmatrix} 0 \\ 1 \\ 0 \\ 0 \end{bmatrix} = \begin{bmatrix} 1 \\ 0 \end{bmatrix} \otimes \begin{bmatrix} 0 \\ 1 \end{bmatrix}.$$

No entanto, o estado

$$\begin{bmatrix} 0 \\ 1 \\ 1 \\ 0 \end{bmatrix}$$

é um estado emaranhado, pois não pode ser descrito como produto tensorial de estados de 1 q-bit.

### 1.2.3 Produtos interno e externo

Podemos definir o *produto interno* entre os estados  $|\varphi\rangle, |\psi\rangle \in \mathbb{C}^n$ , denotado por  $\langle\varphi|\psi\rangle$ , como sendo o produto matricial entre  $|\varphi\rangle^\dagger$  e  $|\psi\rangle$ , ou seja,

$$\langle\varphi|\psi\rangle = (|\varphi\rangle)^\dagger|\psi\rangle = \sum_{i=1}^n \varphi_i^* \psi_i. \quad (13)$$

O estado  $|\varphi\rangle^\dagger$  é chamado *dual* de  $|\varphi\rangle$  e denotado por  $\langle\varphi|$  ( $|\varphi\rangle$  e  $\langle\varphi|$  são denominados *ket* e *bra*, respectivamente).

O produto interno satisfaz às seguintes propriedades:

1.  $\langle\psi|\varphi\rangle = \langle\varphi|\psi\rangle^*$ ,
2.  $\langle\varphi|(a|u\rangle + b|v\rangle)\rangle = a\langle\varphi|u\rangle + b\langle\varphi|v\rangle$ ,
3.  $\langle\varphi|\varphi\rangle > 0$  (se  $|\varphi\rangle \neq 0$ ),

com  $a, b \in \mathbb{C}$  e  $|\varphi\rangle, |\psi\rangle, |u\rangle, |v\rangle \in \mathbb{C}^n$ .

EXERCÍCIO 1.4 Demonstre as propriedades 1, 2 e 3 do produto interno.

A *norma* de um estado  $|\varphi\rangle$  pode, então, ser definida por

$$\| |\varphi\rangle \| = \sqrt{\langle\varphi|\varphi\rangle}.$$

Podemos, também, definir o *produto externo* entre os estados  $|\varphi\rangle \in \mathbb{C}^m$  e  $|\psi\rangle \in \mathbb{C}^n$ , denotado por  $|\varphi\rangle\langle\psi|$ , como sendo o produto matricial de  $|\varphi\rangle$  por  $\langle\psi|$ , ou seja,

$$|\varphi\rangle\langle\psi| = |\varphi\rangle(|\psi\rangle)^\dagger.$$

Note que  $|\varphi\rangle\langle\psi|$  é uma matriz de ordem  $m \times n$ .

Como exemplos das definições acima, considere os estados de 1 q-bit

$$|\varphi\rangle = \alpha|0\rangle + \beta|1\rangle$$

e

$$|\psi\rangle = \gamma|0\rangle + \delta|1\rangle.$$

Temos, então,

$$\langle\varphi|\psi\rangle = \begin{bmatrix} \alpha^* & \beta^* \end{bmatrix} \begin{bmatrix} \gamma \\ \delta \end{bmatrix} = \alpha^* \gamma + \beta^* \delta,$$

para o produto interno, e

$$|\varphi\rangle\langle\psi| = \begin{bmatrix} \alpha \\ \beta \end{bmatrix} \begin{bmatrix} \gamma^* & \delta^* \end{bmatrix} = \begin{bmatrix} \alpha\gamma^* & \alpha\delta^* \\ \beta\gamma^* & \beta\delta^* \end{bmatrix},$$

para o produto externo.

EXERCÍCIO 1.5 Demonstre que, dados dois vetores  $|\varphi\rangle, |\psi\rangle \in \mathbb{C}^n$ , temos

$$(|\psi\rangle\langle\psi|)|\varphi\rangle = \langle\psi|\varphi\rangle|\psi\rangle. \quad (14)$$

Usando o produto interno, podemos definir o *ângulo*  $\theta$  entre dois vetores unitários  $|\varphi\rangle, |\psi\rangle \in \mathbb{R}^n$  por

$$\theta = \arccos(\langle\varphi|\psi\rangle). \quad (15)$$

Observe que, usando essa definição,  $\theta \in [0, \pi]$ .

Com os conceitos apresentados até aqui, podemos dar uma representação para um computador quântico (Figura 6), generalizando o computador clássico, apresentado na Figura 1. Os bits de entrada são substituídos por estados de 1 q-bit e a função  $f$  é substituída por um operador unitário  $U$  que, em geral, é o resultado da composição de vários outros operadores unitários. O resultado da computação é dado pela medida de cada q-bit de saída.

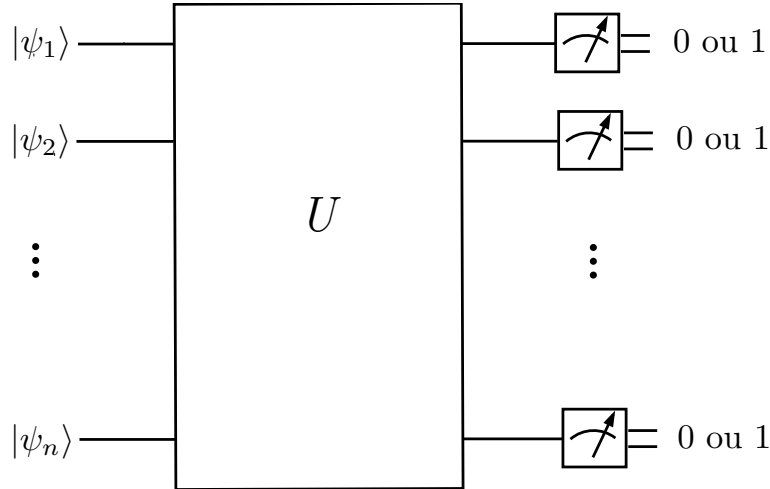


Figura 6: Esquema genérico para um computador quântico.

A priori, usando  $n$  q-bits, existe a possibilidade de um número infinito de operadores unitários  $U$ , representados por matrizes com  $2^n \times 2^n$  entradas. Na prática, há que se levar os erros em conta, o que diminui o número de circuitos implementáveis. Mesmo assim, os graus de liberdade são maiores que no computador clássico. Cada operador  $U$  é implementado com portas formando circuitos quânticos, assunto do próximo capítulo.

## 2 Circuitos Quânticos

A representação gráfica de circuitos clássicos é, de certa forma, próxima da realidade física do circuito implementado. Por exemplo, linhas correspondem a fios e bifurcações significam que a corrente elétrica passa por ambos os fios. Nos circuitos quânticos, os fenômenos ocorrem de outra forma, como veremos.

### 2.1 Notação e Convenções

Para apresentar as convenções usadas em circuitos quânticos, vamos utilizar um circuito (porta U-controlada) em que a entrada e a saída são um estado de 2 q-bits (Figura 7).

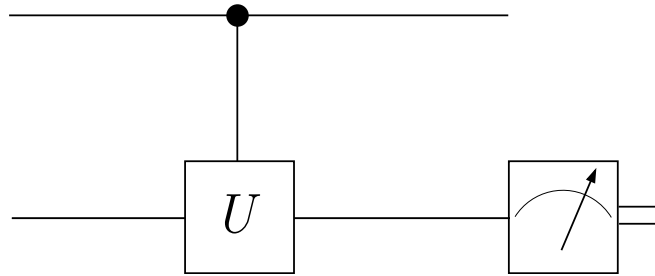


Figura 7: Porta quântica U-controlada.

**Entrada:** pode ser o produto tensorial entre os q-bits de entrada ou um estado emaranhado (os q-bits não devem ser considerados individualmente).

**Linhas horizontais:** as linhas que aparecem não são necessariamente fios. Elas representam a evolução de um q-bit, podendo ser apenas a passagem do tempo ou, por exemplo, o deslocamento de um fóton.

**Sentido:** o circuito descreve a evolução do sistema quântico no tempo, da esquerda para a direita. Com isso, não há sentido em aparecer retroalimentação, que pode ocorrer em um circuito clássico.

**Linhas verticais:** o segmento vertical que aparece unindo os símbolos  $\bullet$  e  $\boxed{U}$  informa que o circuito atua simultaneamente nos dois q-bits. A linha vertical representa o sincronismo, e não o envio de informação. Portanto, não são permitidas nem junções, nem bifurcações de q-bits.

**Controle:** o símbolo  $\bullet$  indica que o q-bit representado nessa linha é um q-bit de controle, ou seja, caso esteja no estado  $|1\rangle$ , a porta  $U$  realiza a operação; caso esteja no estado  $|0\rangle$ , a porta  $U$  não realiza operação alguma. Caso o q-bit de controle seja um estado superposto ou os 2 q-bits estejam emaranhados, não



é possível compreender o comportamento individual do q-bit de controle e do q-bit alvo. Devemos considerar a ação do operador unitário, que representa todo o circuito, atuando simultaneamente nos 2 q-bits.

**Saída:** os q-bits que compõem a saída do circuito podem ou não ser medidos. Como o q-bit inferior está sendo medido (o símbolo de medida está indicado na Figura 7), o resultado será 0 ou 1.

Vistas as principais convenções, vamos apresentar algumas portas quânticas. Começamos por portas de 1 q-bit. No caso clássico, há apenas uma possibilidade: a porta NOT. O mesmo não ocorre nos circuitos quânticos, como veremos.

Antes de prosseguir, façamos uma observação. A importância do estudo de portas lógicas em computação quântica baseia-se no fato de que toda matriz unitária  $2 \times 2$  pode ser representada por um circuito quântico de 1 q-bit e vice-versa (Nielsen & Chuang 2000). Sendo assim, a evolução no tempo de um sistema quântico isolado, dado por um q-bit, pode ser representada tanto matematicamente (por uma transformação unitária) quanto logicamente (por um circuito quântico).

## 2.2 Porta NOT Quântica

No caso clássico, a porta NOT troca o 1 por 0 e vice-versa. A generalização para o caso quântico é dada por um operador  $X$  que satisfaz

$$X|0\rangle = |1\rangle \quad \text{e} \quad X|1\rangle = |0\rangle. \quad (16)$$

Com isso, verifica-se facilmente que a representação matricial do operador  $X$  é dada por

$$X = \begin{bmatrix} 0 & 1 \\ 1 & 0 \end{bmatrix}.$$

EXERCÍCIO 2.1 Demonstre que  $X$  é um operador unitário.

Com a porta NOT quântica, temos situações sem contrapartida no caso clássico, pois, se a entrada  $|\varphi\rangle$  for uma superposição dos estados  $|0\rangle$  e  $|1\rangle$ ,

$$|\varphi\rangle = \alpha|0\rangle + \beta|1\rangle,$$

a saída será

$$X|\varphi\rangle = \beta|0\rangle + \alpha|1\rangle.$$

A porta  $X$  é apenas uma das portas de 1 q-bit, já que há infinitas matrizes unitárias  $2 \times 2$ .

## 2.3 Porta Hadamard

Uma outra porta de 1 q-bit, largamente utilizada, é a porta Hadamard  $H$ , definida pelo operador

$$H = \frac{1}{\sqrt{2}} \begin{bmatrix} 1 & 1 \\ 1 & -1 \end{bmatrix}. \quad (17)$$

EXERCÍCIO 2.2 Demonstre que  $H$  é um operador unitário.

Aplicando  $H$  no estado  $|0\rangle$ , obtemos

$$H|0\rangle = \frac{1}{\sqrt{2}}(|0\rangle + |1\rangle),$$

que é uma superposição dos estados  $|0\rangle$  e  $|1\rangle$ , onde a probabilidade de se obter um dos estados, ao se fazer uma medida do estado  $H|0\rangle$ , é a mesma: 50%. Aplicando o operador  $H$  em cada q-bit de um registrador com 2 q-bits no estado  $|00\rangle$ , temos:

$$\begin{aligned} H^{\otimes 2}|00\rangle &= H|0\rangle \otimes H|0\rangle \\ &= \left( \frac{1}{\sqrt{2}}(|0\rangle + |1\rangle) \right) \otimes \left( \frac{1}{\sqrt{2}}(|0\rangle + |1\rangle) \right) \\ &= \frac{1}{2}(|00\rangle + |01\rangle + |10\rangle + |11\rangle). \end{aligned}$$

Em notação decimal,

$$H^{\otimes 2}|00\rangle = \frac{1}{2}(|0\rangle + |1\rangle + |2\rangle + |3\rangle).$$

Generalizando para estados com  $n$  q-bits, obtemos:

$$\begin{aligned} H^{\otimes n}|0\dots 0\rangle &= (H|0\rangle)^{\otimes n} \\ &= \left( \frac{1}{\sqrt{2}}(|0\rangle + |1\rangle) \right)^{\otimes n} \\ &= \frac{1}{\sqrt{2^n}} \sum_{i=0}^{N-1} |i\rangle. \end{aligned}$$

Esse resultado será importante no algoritmo de Grover (Capítulo 3).

EXERCÍCIO 2.3 Aplique o operador  $H$  em um estado superposto qualquer e interprete o resultado.

## 2.4 Porta de Fase ou Porta S

A matriz unitária associada à porta  $S$  é

$$S = \begin{bmatrix} 1 & 0 \\ 0 & i \end{bmatrix},$$

onde  $i$  é a unidade imaginária ( $i^2 = -1$ ). A porta  $S$  pode também ser representada por

$$S = \begin{bmatrix} 1 & 0 \\ 0 & \exp(i\pi/2) \end{bmatrix},$$

já que  $\exp(i\pi/2) = \cos(\pi/2) + i \sin(\pi/2) = i$ .

Aplicando  $S$  em um estado genérico

$$|\psi\rangle = \alpha|0\rangle + \beta|1\rangle,$$

obtemos

$$S|\psi\rangle = \alpha|0\rangle + i\beta|1\rangle.$$

Note que, se for feita uma medida do estado  $S|\psi\rangle$ , as probabilidades de se obter os estados  $|0\rangle$  ou  $|1\rangle$  serão as mesmas, comparadas com uma medida realizada sobre o estado  $|\psi\rangle$ . Isso não acontece, por exemplo, usando a porta  $H$ .

## 2.5 Porta $\pi/8$ ou Porta T

A matriz unitária associada à porta  $T$  é

$$T = \begin{bmatrix} 1 & 0 \\ 0 & \exp(i\pi/4) \end{bmatrix},$$

que poderia ser representada, também, na forma

$$T = \exp(i\pi/8) \begin{bmatrix} \exp(-i\pi/8) & 0 \\ 0 & \exp(i\pi/8) \end{bmatrix}.$$

Aplicando  $T$  em um estado genérico

$$|\psi\rangle = \alpha|0\rangle + \beta|1\rangle,$$

obtemos

$$T|\psi\rangle = \alpha|0\rangle + \exp(i\pi/4)\beta|1\rangle.$$

Também, nesse caso, se for feita uma medida do estado  $T|\psi\rangle$ , as probabilidades de se obter os estados  $|0\rangle$  ou  $|1\rangle$  serão as mesmas, comparadas com uma medida realizada sobre o estado  $|\psi\rangle$ .

## 2.6 Porta CNOT Quântica

Outra porta, essa atuando em estados de 2 q-bits, é a contrapartida quântica do circuito clássico apresentado anteriormente na Figura 3. Ela tem 2 q-bits de entrada, o de controle e o alvo (Figura 8). Uma porta controlada, como já vimos (Figura 7), age dependendo do valor do q-bit de controle. Ela é “ativada” se o q-bit de controle estiver no estado  $|1\rangle$ , e nada faz, se ele estiver no estado  $|0\rangle$ . Essa descrição é adequada apenas quando o q-bit de controle está nos estados  $|0\rangle$  ou  $|1\rangle$ . Entretanto, o que distingue a porta CNOT quântica da clássica é que, na porta CNOT quântica, os q-bits alvo e de controle podem ser estados superpostos, e, além disso, os dois q-bits podem estar emaranhados.

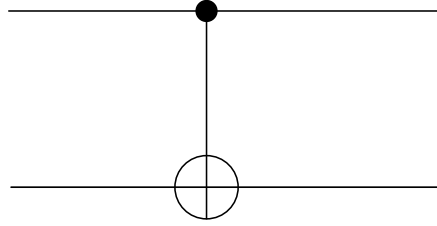


Figura 8: Porta CNOT quântica.

A ação da porta CNOT pode ser caracterizada pelas transformações operadas nos elementos da base computacional associada, ou seja,

$$\begin{aligned} |00\rangle &\rightarrow |00\rangle, \\ |01\rangle &\rightarrow |01\rangle, \\ |10\rangle &\rightarrow |11\rangle, \\ |11\rangle &\rightarrow |10\rangle. \end{aligned} \tag{18}$$

Note que podemos representar essa ação na base computacional de forma mais esquemática por

$$|i, j\rangle \rightarrow |i, i \oplus j\rangle, \tag{19}$$

onde  $i, j \in \{0, 1\}$  e  $\oplus$  é a adição módulo 2.

Para obtermos a matriz  $U_{CNOT}$  associada à porta CNOT, basta usarmos os valores dados em (18), isto é,

$$U_{CNOT} \begin{bmatrix} 1 \\ 0 \\ 0 \\ 0 \end{bmatrix} = \begin{bmatrix} 1 \\ 0 \\ 0 \\ 0 \end{bmatrix}, \quad U_{CNOT} \begin{bmatrix} 0 \\ 1 \\ 0 \\ 0 \end{bmatrix} = \begin{bmatrix} 0 \\ 1 \\ 0 \\ 0 \end{bmatrix},$$

$$U_{CNOT} \begin{bmatrix} 0 \\ 0 \\ 1 \\ 0 \end{bmatrix} = \begin{bmatrix} 0 \\ 0 \\ 0 \\ 1 \end{bmatrix}, \quad U_{CNOT} \begin{bmatrix} 0 \\ 0 \\ 0 \\ 1 \end{bmatrix} = \begin{bmatrix} 0 \\ 0 \\ 1 \\ 0 \end{bmatrix},$$

que resulta em

$$U_{CNOT} = \begin{bmatrix} 1 & 0 & 0 & 0 \\ 0 & 1 & 0 & 0 \\ 0 & 0 & 0 & 1 \\ 0 & 0 & 1 & 0 \end{bmatrix}. \quad (20)$$

EXERCÍCIO 2.4 Demonstre que  $U_{CNOT}$  é um operador unitário.

EXERCÍCIO 2.5 Dê um exemplo de estado emaranhado produzido pela porta CNOT.

Um resultado importante sobre circuitos quânticos é que qualquer operador unitário pode ser representado usando portas CNOT e portas de 1 q-bit (Nielsen & Chuang 2000).

EXERCÍCIO 2.6 Demonstre que a matriz  $U_{CNOT}$  não pode ser descrita como produto tensorial de matrizes  $2 \times 2$ .

EXERCÍCIO 2.7 Demonstre que a porta CNOT não pode ser descrita usando portas de 1 q-bit.

## 2.7 Porta Toffoli Quântica

A próxima porta a ser considerada é a correspondente quântica da porta Toffoli (Figura 4). Também é uma porta controlada, só que nesse caso, com dois q-bits de controle (Figura 9). Sua ação na base computacional associada pode ser representada por

$$|i, j, k\rangle \rightarrow |i, j, k \oplus ij\rangle,$$

onde  $i, j, k \in \{0, 1\}$  e  $\oplus$  é a adição módulo 2. Observe que, nesse caso, a base computacional possui 8 elementos.

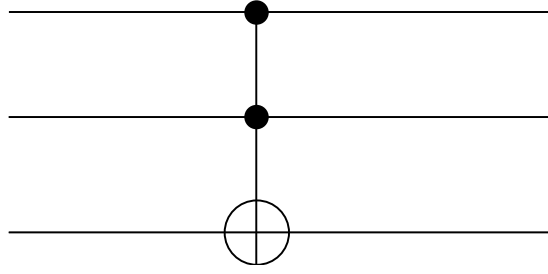


Figura 9: Porta Toffoli quântica.

EXERCÍCIO 2.8 Exiba a matriz associada à porta Toffoli quântica.

EXERCÍCIO 2.9 Analise se a matriz associada à porta Toffoli quântica pode ser representada pelo produto tensorial de matrizes quadradas de dimensões diferentes de  $1 \times 1$ .

A porta Toffoli é usada para simplificar a representação de circuitos quânticos. Como já sabemos, ela pode ser descrita usando portas de 1 q-bit e portas CNOT. Uma representação possível é dada na Figura 10 (há outras representações (Preskill 1998)).

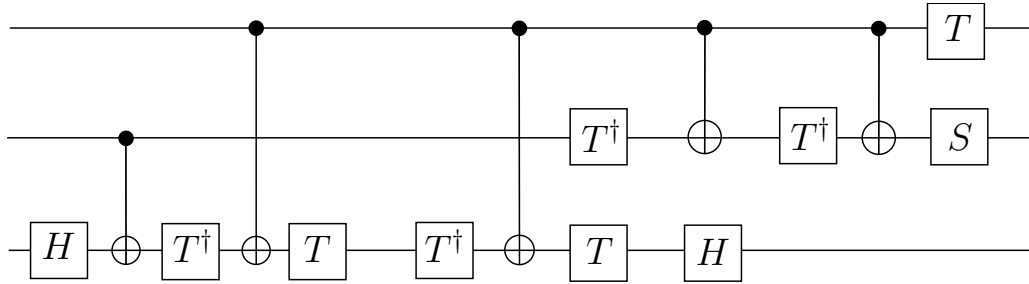


Figura 10: Decomposição da porta Toffoli em portas de 1 q-bit e portas CNOT.

EXERCÍCIO 2.10 Faça a evolução dos estados da base computacional, na representação da porta Toffoli da Figura 10.

Para simplificar ainda mais a representação de circuitos quânticos, temos também a porta Toffoli generalizada (Figura 11), que será utilizada nos capítulos seguintes.

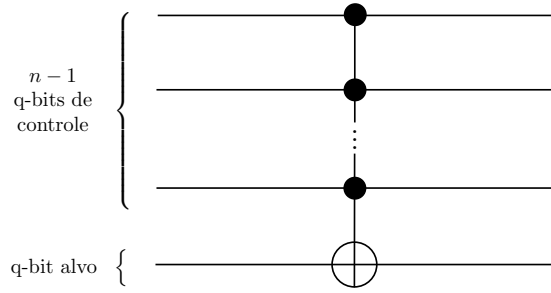


Figura 11: Porta Toffoli generalizada.

A decomposição da porta Toffoli generalizada, em termos de portas Toffoli simples, é mostrada na Figura 12. Os  $n-2$  q-bits de trabalho são q-bits extras, cujas entradas são conhecidas antecipadamente. São utilizados para simplificar a decomposição.

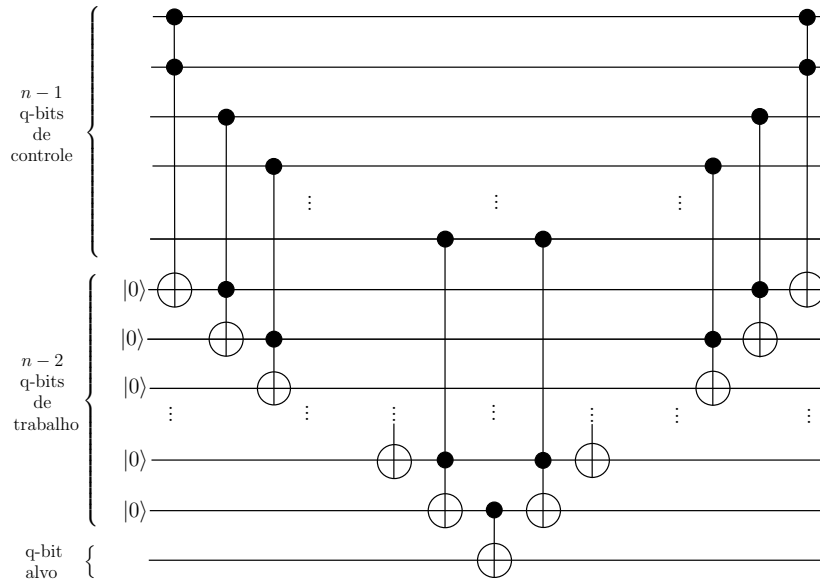


Figura 12: Porta Toffoli generalizada decomposta em portas Toffoli simples.

**EXERCÍCIO 2.11** Analise as saídas da porta Toffoli generalizada (Figura 11) e as saídas da sua decomposição (Figura 12), considerando, na entrada, elementos da base computacional.

## 3 Algoritmo de Grover

### 3.1 Introdução

Considere o seguinte problema: temos uma lista não ordenada com  $N$  elementos e desejamos encontrar um elemento específico que está na lista. Classicamente, deveríamos testar elemento a elemento. No pior caso possível, precisaríamos realizar  $N$  testes. Como veremos, usando as propriedades da mecânica quântica, a quantidade de “testes” necessários para a identificação do elemento procurado será proporcional a  $\sqrt{N}$ . Este resultado será obtido usando o algoritmo de Grover (Grover 1996, 1997).

Para representar matematicamente o problema, vamos supor que a busca será realizada sobre a lista  $\{0, 1, \dots, N-1\}$ , onde  $N = 2^n$  para algum número natural  $n$ , e que a função

$$f : \{0, 1, \dots, N-1\} \rightarrow \{0, 1\},$$

definida por

$$f(i) = \begin{cases} 1, & \text{se } i = i_0, \\ 0, & \text{se } i \neq i_0, \end{cases} \quad (21)$$

será utilizada para o reconhecimento do elemento procurado  $i_0$  (assumiremos que existe um único elemento  $i \in \{0, 1, \dots, N-1\}$  tal que  $f(i) = 1$ ). Dessa forma, o custo computacional para resolver o problema está associado ao número de vezes que a função  $f$  deve ser “utilizada”. Imagine a função  $f$  como sendo um oráculo que está à disposição para informar se um dado elemento é ou não o elemento procurado.

O algoritmo de Grover utiliza dois registradores quânticos (Figura 13): o primeiro, com  $n$  q-bits, inicializado no estado  $|0\dots 0\rangle$ , e o segundo, com 1 q-bit, inicializado no estado  $|1\rangle$ . O primeiro registrador está relacionado aos elementos da lista onde será feita a busca, enquanto que o segundo é um registrador que terá um papel fundamental, como veremos. A cada elemento  $i$  da lista  $\{0, 1, \dots, N-1\}$ , associaremos o estado  $|i\rangle$  de  $n$  q-bits.

### 3.2 Operadores do Algoritmo

Antes da execução propriamente dita do algoritmo, o primeiro registrador é alterado para formar uma superposição de todos os estados associados aos elementos da lista. Isso pode ser obtido aplicando o operador Hadamard  $H$  (17) em cada q-bit do primeiro registrador (Figura 13).



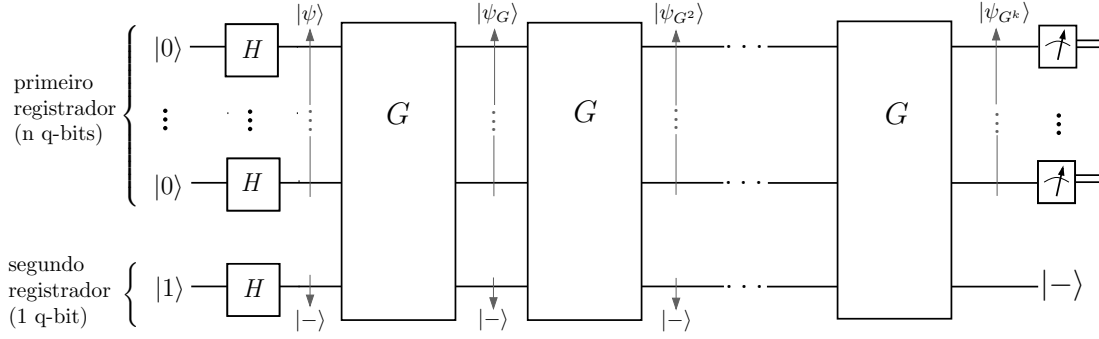


Figura 13: Esquema genérico para o algoritmo de Grover ( $G$  é um operador unitário que será definido mais adiante).

A superposição obtida será denotada por  $|\psi\rangle$ , ou seja,

$$|\psi\rangle = \frac{1}{\sqrt{N}} \sum_{i=0}^{N-1} |i\rangle. \quad (22)$$

Observe que aplicando  $n$  vezes o operador  $H$ , obtemos uma superposição de  $N = 2^n$  estados com mesma amplitude.

Para completar a inicialização do algoritmo, o operador  $H$  também é aplicado sobre o estado inicial do segundo registrador (Figura 13). Denotando o resultado por  $|-\rangle$ , temos:

$$|-\rangle = H|1\rangle = \frac{1}{\sqrt{2}}(|0\rangle - |1\rangle). \quad (23)$$

Já sabemos que qualquer alteração de um sistema quântico isolado (que não seja uma medida) é descrita por um operador unitário. Para “representar” quanticamente a função  $f$ , em (21), utilizada para a identificação do elemento procurado, imaginemos, então, um operador linear  $U_f$  que transforme  $|i\rangle$  em  $|f(i)\rangle$ , onde  $|i\rangle$  é o estado de  $n$  q-bits do primeiro registrador. Como  $U_f$  deve ser unitário, a “entrada” e a “saída” de  $U_f$  devem ter a mesma dimensão. Considere, então,

$$|i\rangle|0\rangle \xrightarrow{U_f} |i\rangle|f(i)\rangle, \quad (24)$$

onde, na “entrada” e na “saída”, o primeiro registrador tem  $n$  q-bits e o segundo apenas 1 q-bit. Usando (24), temos:

$$U_f(|i\rangle|0\rangle) = \begin{cases} |i\rangle|1\rangle, & \text{se } i = i_0, \\ |i\rangle|0\rangle, & \text{se } i \neq i_0. \end{cases} \quad (25)$$

Ou seja, o operador  $U_f$  altera o estado do segundo registrador quando o primeiro registrador representa o elemento procurado. Para completar a definição, precisamos definir o valor de  $U_f(|i\rangle|1\rangle)$ . Mantendo a mesma idéia, definimos:

$$U_f(|i\rangle|1\rangle) = \begin{cases} |i\rangle|0\rangle, & \text{se } i = i_0, \\ |i\rangle|1\rangle, & \text{se } i \neq i_0. \end{cases} \quad (26)$$

Com isso,  $U_f$  fica bem definido, pois, sendo um operador linear, basta defini-lo nos elementos da base. Note que a base é formada usando o produto tensorial. Por exemplo, para uma lista com 4 elementos (o primeiro registrador terá 2 q-bits), a base será

$$\{|0\rangle|0\rangle, |0\rangle|1\rangle, |1\rangle|0\rangle, |1\rangle|1\rangle, |2\rangle|0\rangle, |2\rangle|1\rangle, |3\rangle|0\rangle, |3\rangle|1\rangle\},$$

ou melhor,

$$\left\{ \begin{bmatrix} 1 \\ 0 \\ 0 \\ 0 \\ 0 \\ 0 \\ 0 \\ 0 \end{bmatrix}, \begin{bmatrix} 0 \\ 1 \\ 0 \\ 0 \\ 0 \\ 0 \\ 0 \\ 0 \end{bmatrix}, \begin{bmatrix} 0 \\ 0 \\ 1 \\ 0 \\ 0 \\ 0 \\ 0 \\ 0 \end{bmatrix}, \begin{bmatrix} 0 \\ 0 \\ 0 \\ 1 \\ 0 \\ 0 \\ 0 \\ 0 \end{bmatrix}, \begin{bmatrix} 0 \\ 0 \\ 0 \\ 0 \\ 1 \\ 0 \\ 0 \\ 0 \end{bmatrix}, \begin{bmatrix} 0 \\ 0 \\ 0 \\ 0 \\ 0 \\ 1 \\ 0 \\ 0 \end{bmatrix}, \begin{bmatrix} 0 \\ 0 \\ 0 \\ 0 \\ 0 \\ 0 \\ 1 \\ 0 \end{bmatrix}, \begin{bmatrix} 0 \\ 0 \\ 0 \\ 0 \\ 0 \\ 0 \\ 0 \\ 1 \end{bmatrix} \right\}.$$

EXERCÍCIO 3.1 Exiba a matriz que representa  $U_f$ .

Para facilitar os cálculos a seguir, representaremos (25) e (26) de uma única maneira, isto é,

$$U_f(|i\rangle|j\rangle) = |i\rangle|j \oplus f(i)\rangle, \quad (27)$$

onde  $|i\rangle$  é o estado de  $n$  q-bits do primeiro registrador ( $i \in \{0, 1, \dots, N-1\}$ ),  $|j\rangle$  é o estado de 1 q-bit do segundo registrador ( $j \in \{0, 1\}$ ) e  $\oplus$  é a soma módulo 2. Note que  $U_f \in \mathbb{C}^{(2^{n+1} \times 2^{n+1})}$ .

EXERCÍCIO 3.2 Demonstre que  $U_f$  é um operador unitário.

O operador  $U_f$  foi definido para simular quanticamente o papel da função  $f$  (21). Para identificar o elemento procurado  $i_0$ , bastaria aplicar  $U_f$  em cada estado associado aos elementos da lista e manter o segundo registrador no estado  $|0\rangle$  ou  $|1\rangle$ . Quando o estado do segundo registrador fosse alterado, saberíamos que o elemento buscado teria sido encontrado. Neste caso, o estado do primeiro registrador seria  $|i_0\rangle$ . No entanto, isso não proporcionaria ganho algum em relação ao caso clássico, usando a função  $f$ . O que vai fazer diferença é que podemos também aplicar  $U_f$  em estados superpostos. Vejamos.

O próximo passo do algoritmo é aplicar o operador  $U_f$  sobre o estado  $|\psi\rangle|-\rangle$ , resultante da inicialização (Figura 14). Ou seja,

$$U_f(|\psi\rangle|-\rangle) = U_f \left( \left( \frac{1}{\sqrt{N}} \sum_{i=0}^{N-1} |i\rangle \right) |-\rangle \right).$$

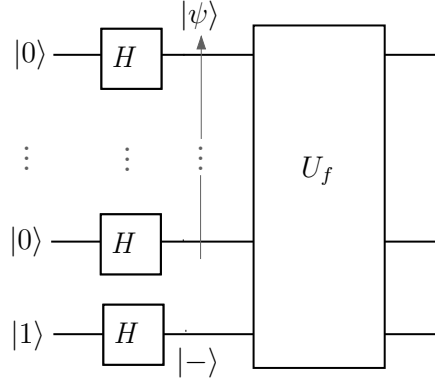


Figura 14: Aplicação do operador  $U_f$  sobre o estado  $|\psi\rangle|-\rangle$ .

Usando a distributividade do produto tensorial em relação à adição de vetores,

$$U_f(|\psi\rangle|-\rangle) = U_f\left(\frac{1}{\sqrt{N}} \sum_{i=0}^{N-1} |i\rangle|-\rangle\right).$$

Da linearidade do operador  $U_f$ ,

$$U_f(|\psi\rangle|-\rangle) = \frac{1}{\sqrt{N}} \sum_{i=0}^{N-1} U_f(|i\rangle|-\rangle).$$

Substituindo a definição do estado  $|-\rangle$ , dada em (23), na expressão acima, obtemos:

$$\begin{aligned} U_f(|\psi\rangle|-\rangle) &= \frac{1}{\sqrt{N}} \sum_{i=0}^{N-1} U_f\left(|i\rangle\left(\frac{1}{\sqrt{2}}(|0\rangle - |1\rangle)\right)\right) \\ &= \frac{1}{\sqrt{N}} \sum_{i=0}^{N-1} U_f\left(\frac{1}{\sqrt{2}}(|i\rangle|0\rangle - |i\rangle|1\rangle)\right). \end{aligned}$$

Novamente, da linearidade de  $U_f$ ,

$$U_f(|\psi\rangle|-\rangle) = \frac{1}{\sqrt{N}} \sum_{i=0}^{N-1} \frac{1}{\sqrt{2}} (U_f(|i\rangle|0\rangle) - U_f(|i\rangle|1\rangle)).$$

Da definição de  $U_f$ , em (27), temos:

$$\begin{aligned} U_f(|\psi\rangle|-\rangle) &= \frac{1}{\sqrt{N}} \sum_{i=0}^{N-1} \frac{1}{\sqrt{2}} (|i\rangle|f(i)\rangle - |i\rangle|1 \oplus f(i)\rangle) \\ &= \frac{1}{\sqrt{N}} \sum_{i=0}^{N-1} \frac{1}{\sqrt{2}} (|i\rangle(|f(i)\rangle - |1 \oplus f(i)\rangle)). \end{aligned} \tag{28}$$

Da definição de  $f$ , em (21),

$$|i\rangle (|f(i)\rangle - |1 \oplus f(i)\rangle) = \begin{cases} |i\rangle (|1\rangle - |0\rangle), & \text{se } i = i_0, \\ |i\rangle (|0\rangle - |1\rangle), & \text{se } i \neq i_0. \end{cases} \quad (29)$$

Substituindo a expressão anterior em (28), temos:

$$U_f (|\psi\rangle|-\rangle) = \frac{1}{\sqrt{N}} \left( \sum_{i=0, i \neq i_0}^{N-1} \left( \frac{1}{\sqrt{2}} (|i\rangle (|0\rangle - |1\rangle)) \right) + \frac{1}{\sqrt{2}} (|i_0\rangle (|1\rangle - |0\rangle)) \right).$$

Novamente, da definição de  $|-\rangle$ ,

$$\begin{aligned} U_f (|\psi\rangle|-\rangle) &= \frac{1}{\sqrt{N}} \left( \left( \sum_{i=0, i \neq i_0}^{N-1} |i\rangle|-\rangle \right) - |i_0\rangle|-\rangle \right) \\ &= \frac{1}{\sqrt{N}} \left( \sum_{i=0}^{N-1} (-1)^{f(i)} |i\rangle|-\rangle \right). \end{aligned}$$

Ou ainda,

$$U_f (|\psi\rangle|-\rangle) = \left( \frac{1}{\sqrt{N}} \sum_{i=0}^{N-1} (-1)^{f(i)} |i\rangle \right) |-\rangle. \quad (30)$$

Note que o estado do segundo registrador não se altera (como visto acima, isso não quer dizer que ele seja desnecessário!). O estado do primeiro registrador continua sendo uma superposição de todos os estados associados aos elementos da lista. Entretanto, a amplitude do elemento procurado foi alterada de  $\frac{1}{\sqrt{N}}$  para  $-\frac{1}{\sqrt{N}}$ .

Após a aplicação do operador  $U_f$ , um fato interessante ocorreu. Além da função  $f$  ter sido “avaliada” em todos os elementos da lista onde está sendo feita a busca, com apenas uma aplicação de  $U_f$  (este fenômeno é conhecido como *paralelismo quântico* (Nielsen & Chuang 2000)), o estado associado ao elemento procurado foi “identificado” como sendo o único que teve sua amplitude alterada. No entanto, essa informação só está disponível quanticamente. Não adiantaria fazer uma medida do primeiro registrador, pois a probabilidade de se obter o elemento procurado é

$$\left| \frac{-1}{\sqrt{N}} \right|^2 = \frac{1}{N}.$$

Antes de prosseguirmos, consideremos a seguinte questão: a aplicação do operador  $U_f$  sobre um estado qualquer, no primeiro registrador, ainda mantém o segundo registrador no estado  $|-\rangle$ ? Vejamos.

Seja  $|i\rangle$ , um estado qualquer da base computacional  $\{|0\rangle, |1\rangle, \dots, |N-1\rangle\}$ . Usando as definições do operador  $U_f$  e do estado  $|-\rangle$ , temos:

$$\begin{aligned}
U_f(|i\rangle|-\rangle) &= U_f\left(|i\rangle\left(\frac{1}{\sqrt{2}}(|0\rangle - |1\rangle)\right)\right) \\
&= U_f\left(\frac{1}{\sqrt{2}}(|i\rangle|0\rangle - |i\rangle|1\rangle)\right) \\
&= \frac{1}{\sqrt{2}}(U_f(|i\rangle|0\rangle) - U_f(|i\rangle|1\rangle)) \\
&= \frac{1}{\sqrt{2}}(|i\rangle|f(i)\rangle - |i\rangle|1 \oplus f(i)\rangle).
\end{aligned}$$

Da mesma forma que fizemos no cálculo de  $U_f(|\psi\rangle|-\rangle)$ , obtemos:

$$U_f(|i\rangle|-\rangle) = (-1)^{f(i)}|i\rangle|-\rangle.$$

Ou seja,

$$U_f(|i\rangle|-\rangle) = \begin{cases} -|i\rangle|-\rangle, & \text{se } i = i_0, \\ |i\rangle|-\rangle, & \text{se } i \neq i_0. \end{cases} \quad (31)$$

Usando este resultado e aplicando  $U_f$  sobre um vetor unitário qualquer

$$|v\rangle = \sum_{i=0, i \neq i_0}^{N-1} \alpha_i |i\rangle + \alpha_{i_0} |i_0\rangle,$$

gerado pelos elementos da base computacional  $\{|0\rangle, |1\rangle, \dots, |N-1\rangle\}$ , no primeiro registrador, e mantendo o estado  $|-\rangle$ , no segundo registrador, temos:

$$\begin{aligned}
U_f\left(\left(\sum_{i=0, i \neq i_0}^{N-1} \alpha_i |i\rangle + \alpha_{i_0} |i_0\rangle\right)|-\rangle\right) &= U_f\left(\sum_{i=0, i \neq i_0}^{N-1} \alpha_i |i\rangle|-\rangle + \alpha_{i_0} |i_0\rangle|-\rangle\right) \\
&= \sum_{i=0, i \neq i_0}^{N-1} \alpha_i U_f(|i\rangle|-\rangle) + \alpha_{i_0} U_f(|i_0\rangle|-\rangle) \\
&= \sum_{i=0, i \neq i_0}^{N-1} \alpha_i |i\rangle|-\rangle - \alpha_{i_0} |i_0\rangle|-\rangle \\
&= \left(\sum_{i=0, i \neq i_0}^{N-1} \alpha_i |i\rangle - \alpha_{i_0} |i_0\rangle\right)|-\rangle. \quad (32)
\end{aligned}$$

Conclusão: a aplicação de  $U_f$  sobre o estado  $|v\rangle|-\rangle$  não altera o estado do segundo registrador. Portanto, para simplificar os cálculos, sempre que o estado do segundo registrador for  $|-\rangle$ , como é o caso no algoritmo de Grover, omitiremos o segundo registrador. É importante destacar que o estado  $|-\rangle$  é fundamental no processo de marcação do elemento procurado.

EXERCÍCIO 3.3 Verifique o que acontece se, ao aplicarmos o operador  $U_f$ , o estado do segundo registrador não for o estado  $|-\rangle$ .

Voltemos ao algoritmo. Com o elemento a ser buscado já identificado quanticamente, o próximo passo será aumentar a probabilidade de esse elemento ser obtido, após uma medida.

O novo estado do primeiro registrador será denotado por  $|\psi_1\rangle$ , isto é,

$$|\psi_1\rangle = \frac{1}{\sqrt{N}} \sum_{i=0}^{N-1} (-1)^{f(i)} |i\rangle. \quad (33)$$

Olhando com mais cuidado o resultado da aplicação de  $U_f$  sobre o estado  $|v\rangle|-\rangle$ , em (32), podemos obter uma interpretação geométrica do efeito do operador  $U_f$  sobre o primeiro registrador: a aplicação de  $U_f$  sobre um vetor unitário qualquer gerado pelos elementos da base computacional  $\{|0\rangle, |1\rangle, \dots, |N-1\rangle\}$  resulta numa reflexão desse vetor em relação ao subespaço ortogonal a  $|i_0\rangle$ , gerado por todos os outros elementos da base computacional. Para “visualizar” esse resultado, podemos considerar essa reflexão como uma reflexão em relação à projeção de  $|v\rangle$  sobre o subespaço ortogonal a  $|i_0\rangle$ . Denotando essa projeção pelo vetor unitário  $|u\rangle$ , temos:

$$|u\rangle = \frac{1}{\sqrt{N-1}} \sum_{i=0, i \neq i_0}^{N-1} |i\rangle. \quad (34)$$

EXERCÍCIO 3.4 Demonstre que a projeção de  $|\psi\rangle$ , definido em (22), sobre o subespaço ortogonal a  $|i_0\rangle$  pode ser representada por

$$|u\rangle = \frac{\sqrt{N}}{\sqrt{N-1}} |\psi\rangle - \frac{1}{\sqrt{N-1}} |i_0\rangle. \quad (35)$$

Para completar a visualização, calculemos os ângulos entre  $|\psi\rangle$  e  $|i_0\rangle$  e entre  $|u\rangle$  e  $|i_0\rangle$ . Usando o produto interno, temos:

$$\langle \psi | i_0 \rangle = \frac{1}{\sqrt{N}} \sum_{i=0}^{N-1} \langle i | i_0 \rangle = \frac{1}{\sqrt{N}} \langle i_0 | i_0 \rangle = \frac{1}{\sqrt{N}} \quad (36)$$

e

$$\langle u | i_0 \rangle = \frac{1}{\sqrt{N-1}} \sum_{i=0, i \neq i_0}^{N-1} \langle i | i_0 \rangle = 0. \quad (37)$$

Ou seja, o ângulo entre  $|\psi\rangle$  e  $|i_0\rangle$  é menor do que  $\pi/2$  rad (se  $N$  é grande, o ângulo é quase  $\pi/2$  rad) e o ângulo entre  $|u\rangle$  e  $|i_0\rangle$  é exatamente  $\pi/2$  rad. Usando os resultados (36), (37) e a expressão dada em (35), podemos, finalmente, obter uma representação geométrica para a ação do operador  $U_f$  sobre o estado  $|\psi\rangle$ , dada na Figura 15.

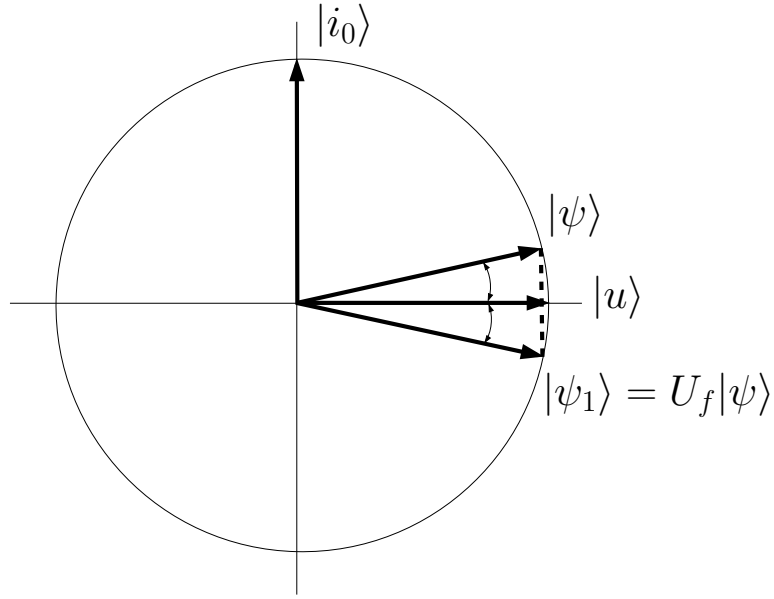


Figura 15: Ação de  $U_f$  sobre o estado  $|\psi\rangle$ .

Induzidos por essa representação, poderíamos, então, refletir o vetor  $|\psi_1\rangle$  em relação ao vetor  $|\psi\rangle$ , para aumentar a amplitude do elemento procurado  $|i_0\rangle$ , em relação à sua amplitude no estado  $|\psi\rangle$  (Figura 16).

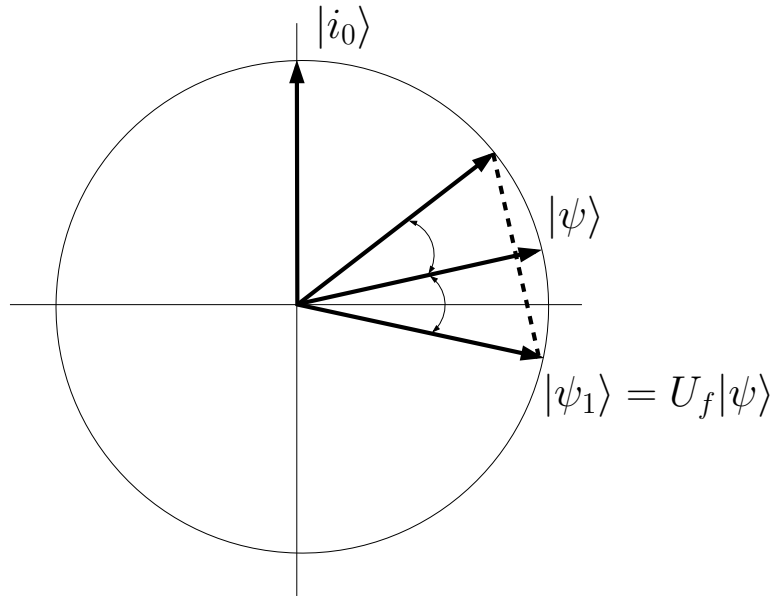


Figura 16: Reflexão de  $|\psi_1\rangle$  em relação a  $|\psi\rangle$ .

Uma observação importante: como todas as amplitudes dos estados envolvidos no algoritmo de Grover são números reais, o produto interno sempre resultará

em um número real. Isso possibilita a comparação entre ângulos de dois pares de estados quaisquer. A partir de agora, teremos em mente esse fato.

A projeção de  $|\psi_1\rangle$  sobre  $|\psi\rangle$  é dada por  $\langle\psi|\psi_1\rangle|\psi\rangle$ . Motivados pelo losango abaixo (Figura 17), vemos que o vetor resultante da reflexão de  $|\psi_1\rangle$  em relação a  $|\psi\rangle$  pode ser descrito como

$$(2\langle\psi|\psi_1\rangle)|\psi\rangle - |\psi_1\rangle. \quad (38)$$

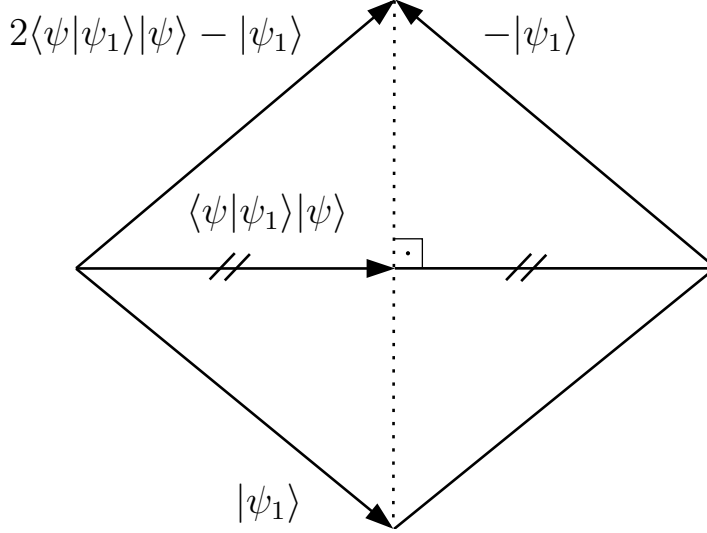


Figura 17: Reflexão de  $|\psi_1\rangle$  em relação a  $|\psi\rangle$ .

O que desejamos é obter um novo operador que produza essa reflexão. Usando a propriedade (14), podemos reescrever a expressão acima, obtendo:

$$(2\langle\psi|\psi_1\rangle)|\psi\rangle - |\psi_1\rangle = (2|\psi\rangle\langle\psi|)|\psi_1\rangle - |\psi_1\rangle = (2|\psi\rangle\langle\psi| - I)|\psi_1\rangle.$$

Ou seja, o operador que procuramos é

$$2|\psi\rangle\langle\psi| - I, \quad (39)$$

onde  $I$  é o operador identidade.

O estado resultante do primeiro registrador, após a aplicação do operador  $U_f$ , em (33), pode ser reescrito como

$$|\psi_1\rangle = |\psi\rangle - \frac{2}{\sqrt{N}}|i_0\rangle, \quad (40)$$

onde

$$|\psi\rangle = \frac{1}{\sqrt{N}} \sum_{i=0}^{N-1} |i\rangle \quad (41)$$



e  $i_0$  é o elemento procurado. Denotando por  $|\psi_G\rangle$  (Figura 18), o estado resultante da aplicação do operador  $2|\psi\rangle\langle\psi| - I$  sobre  $|\psi_1\rangle$ , e usando (40), obtemos:

$$\begin{aligned} |\psi_G\rangle &= (2|\psi\rangle\langle\psi| - I) |\psi_1\rangle \\ &= (2|\psi\rangle\langle\psi| - I) \left( |\psi\rangle - \frac{2}{\sqrt{N}} |i_0\rangle \right) \\ &= (2\langle\psi|\psi\rangle) |\psi\rangle - \left( \frac{4}{\sqrt{N}} \langle\psi|i_0\rangle \right) |\psi\rangle - |\psi\rangle + \frac{2}{\sqrt{N}} |i_0\rangle. \end{aligned} \quad (42)$$

Substituindo (36) em (42), temos:

$$|\psi_G\rangle = \frac{N-4}{N} |\psi\rangle + \frac{2}{\sqrt{N}} |i_0\rangle. \quad (43)$$

Esse é, então, o estado do primeiro registrador após a aplicação dos operadores  $U_f$  e  $2|\psi\rangle\langle\psi| - I$  (o estado do segundo registrador permanece inalterado). A composição desses dois operadores é chamada de *operador de Grover*  $G$ , isto é,

$$G = ((2|\psi\rangle\langle\psi| - I) \otimes I) U_f. \quad (44)$$

O segundo operador identidade aparece, porque o operador  $2|\psi\rangle\langle\psi| - I$  é aplicado apenas no primeiro registrador (Figura 18).

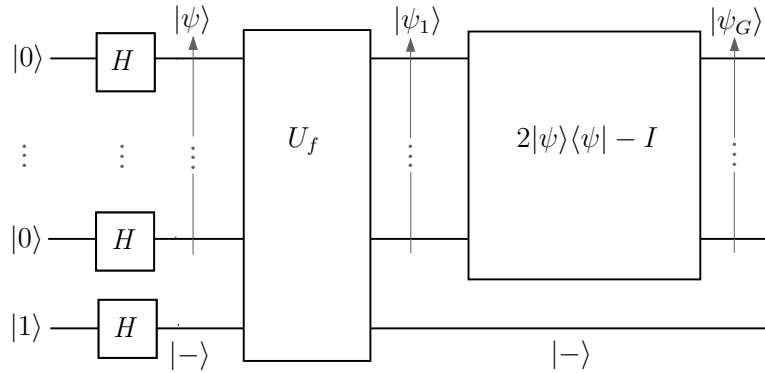


Figura 18: Uma aplicação do operador de Grover ( $G$ ).

**EXERCÍCIO 3.5** Demonstre que  $G$  é um operador unitário.

De (43), obtemos a amplitude do estado  $|i_0\rangle$ , após a primeira aplicação do operador  $G$ :

$$\left( \frac{N-4}{N} \right) \left( \frac{1}{\sqrt{N}} \right) + \frac{2}{\sqrt{N}} = \left( \frac{3N-4}{N\sqrt{N}} \right).$$

Por exemplo, para  $N = 4$ , a probabilidade de se obter o elemento procurado, após uma medida do estado  $|\psi\rangle$ , em (41), é 25%. Já a probabilidade de se

obter o elemento procurado, após uma medida do estado  $|\psi_G\rangle$ , em (43), é 100%. No entanto, para valores grandes de  $N$ , essa probabilidade ainda é pequena. Até agora, o que podemos garantir é que, com uma aplicação do operador  $G$ , a amplitude do estado  $|i_0\rangle$  é aumentada, em relação à sua amplitude no estado  $|\psi\rangle$ . E se aplicarmos novamente o operador  $G$  sobre o estado  $|\psi_G\rangle|-\rangle$ ? A interpretação geométrica dos operadores  $U_f$  e  $2|\psi\rangle\langle\psi| - I$  nos induz justamente a isso (Figuras 15 e 16).

### 3.3 Custo Computacional do Algoritmo

Como demonstraremos nesta seção, o estado resultante do primeiro registrador, após cada aplicação do operador  $G$ , vai se aproximando do estado  $|i_0\rangle$ . Então, para determinar o custo computacional do algoritmo de Grover, temos que calcular quantas aplicações de  $G$  serão necessárias.

Inicialmente, demonstraremos que a aplicação de  $G^k$  ( $k \in \mathbb{N}$ ) produz um rotação de  $|\psi\rangle$  em direção a  $|i_0\rangle$ , de  $k\theta$  rad, no subespaço gerado pelos vetores  $|\psi\rangle$  e  $|i_0\rangle$ , onde  $\theta$  é o ângulo entre  $|\psi\rangle$  e  $G|\psi\rangle$  (Figura 19). Para facilitar a leitura, dividiremos a demonstração em 4 proposições. A Proposição 1 diz que  $G^k|\psi\rangle$  pertence ao subespaço gerado por  $|\psi\rangle$  e  $|i_0\rangle$ , para todo  $k \in \mathbb{N}$ . A Proposição 2 estabelece que o ângulo entre  $G^k|\psi\rangle$  e  $G^{k+1}|\psi\rangle$  também é  $\theta$ , para todo  $k \in \mathbb{N}$ . Na Proposição 3, demonstramos que  $G$  rotaciona  $|\psi\rangle$  em direção a  $|i_0\rangle$ . Finalmente, na Proposição 4, provamos que o sentido da rotação produzida quando  $G$  é aplicado sobre  $G^k|\psi\rangle$ , para todo  $k \in \mathbb{N}$ , é o mesmo obtido quando  $G$  é aplicado sobre  $|\psi\rangle$ . O subespaço gerado por  $|\psi\rangle$  e  $|i_0\rangle$  será denotado por  $\Omega$  e o estado do primeiro registrador de  $G^k|\psi\rangle$  será denotado por  $|\psi_{G^k}\rangle$ . O estado do segundo registrador ( $|-\rangle$ ) será omitido, pois ele é constante durante todo o processo.

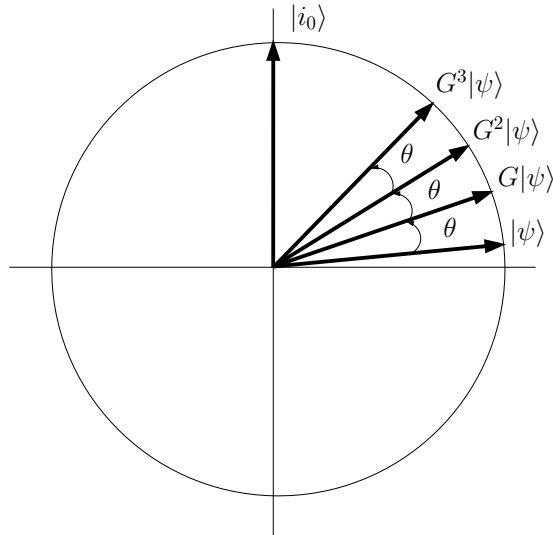


Figura 19: Efeito da aplicação do operador  $G$ .

PROPOSIÇÃO 1  $G^n|\psi\rangle \in \Omega$ , para todo  $n \in \mathbb{N}$ .

Prova. A demonstração é por indução. De (43), sabemos que

$$G|\psi\rangle = \frac{N-4}{N}|\psi\rangle + \frac{2}{\sqrt{N}}|i_0\rangle. \quad (45)$$

Com isso, temos o resultado para  $n = 1$ . Suponhamos que, para um dado  $k \in \mathbb{N}$ ,

$$G^k|\psi\rangle \in \Omega.$$

Isto é, existem  $\alpha, \beta \in \mathbb{R}$  tais que

$$G^k|\psi\rangle = \alpha|\psi\rangle + \beta|i_0\rangle. \quad (46)$$

Temos que provar que

$$G^{k+1}|\psi\rangle \in \Omega.$$

Aplicando o operador  $G$  nos dois lados de (46), obtemos:

$$G^{k+1}|\psi\rangle = \alpha G|\psi\rangle + \beta G|i_0\rangle. \quad (47)$$

Já sabemos que  $G|\psi\rangle \in \Omega$ . Calculemos  $G|i_0\rangle$ . Da definição de  $G$ , em (44), temos:

$$G|i_0\rangle = (2|\psi\rangle\langle\psi| - I)U_f|i_0\rangle. \quad (48)$$

De (31),

$$U_f|i_0\rangle = -|i_0\rangle. \quad (49)$$

Substituindo (49) em (48) e usando (36), obtemos:

$$\begin{aligned} G|i_0\rangle &= (2|\psi\rangle\langle\psi| - I)(-|i_0\rangle) \\ &= -2\langle\psi|i_0\rangle|\psi\rangle + |i_0\rangle \\ &= -\frac{2}{\sqrt{N}}|\psi\rangle + |i_0\rangle. \end{aligned} \quad (50)$$

Ou seja,  $G|i_0\rangle \in \Omega$ . Como os estados  $G|\psi\rangle$  e  $G|i_0\rangle$  pertencem a  $\Omega$ , de (47), concluímos que

$$G^{k+1}|\psi\rangle \in \Omega,$$

que finaliza a indução. ■

PROPOSIÇÃO 2 O ângulo entre  $G^k|\psi\rangle$  e  $G^{k+1}|\psi\rangle$  é  $\theta$  rad, para todo  $k \in \mathbb{N}$ .

Prova. Usando a definição de ângulo entre dois vetores, dada no Capítulo 1, p. 15, o enunciado deste lema torna-se equivalente a

$$\langle\psi_{G^k}|\psi_{G^{k+1}}\rangle = \cos\theta, \forall k \in \mathbb{N}.$$

Reescrevendo, temos

$$\begin{aligned}\langle \psi_{G^k} | \psi_{G^{k+1}} \rangle &= \langle \psi_{G^k} | G^k | \psi_G \rangle \\ &= \langle (G^k)^\dagger \psi_{G^k} | \psi_G \rangle.\end{aligned}$$

Usando o fato de que

$$(G^k)^\dagger | \psi_{G^k} \rangle = (G^k)^\dagger G^k | \psi \rangle = | \psi \rangle,$$

obtemos, para todo  $k \in \mathbb{N}$ ,

$$\begin{aligned}\langle \psi_{G^k} | \psi_{G^{k+1}} \rangle &= \langle \psi | \psi_G \rangle \\ &= \cos \theta,\end{aligned}$$

como queríamos demonstrar. ■

**PROPOSIÇÃO 3** *O operador  $G$  rotaciona  $|\psi\rangle$  em direção a  $|i_0\rangle$ .*

*Prova.* Inicialmente, calculemos o ângulo  $\theta$  entre os vetores  $|\psi\rangle$  e  $G|\psi\rangle$ . De (36) e (43), temos:

$$\begin{aligned}\cos \theta &= \langle \psi | \psi_G \rangle \\ &= \frac{N-4}{N} \langle \psi | \psi \rangle + \frac{2}{\sqrt{N}} \langle \psi | i_0 \rangle \\ &= \frac{N-4}{N} + \frac{2}{\sqrt{N}} \left( \frac{1}{\sqrt{N}} \right) \\ &= \frac{N-2}{N}.\end{aligned}\tag{51}$$

Calculemos, agora, o ângulo entre  $G|\psi\rangle$  e  $|i_0\rangle$ . De (36) e (45), temos:

$$\begin{aligned}\langle \psi_G | i_0 \rangle &= \frac{N-4}{N} \langle \psi | i_0 \rangle + \frac{2}{\sqrt{N}} \langle i_0 | i_0 \rangle \\ &= \frac{N-4}{N\sqrt{N}} + \frac{2}{\sqrt{N}} \\ &= \frac{3N-4}{N\sqrt{N}}.\end{aligned}$$

Para uma lista com 2 elementos ( $N = 2$ ), o algoritmo de Grover “não funciona” (dê uma justificativa para isso). Vamos supor, então, que  $N > 2$ . Neste caso,

$$\frac{3N-4}{N\sqrt{N}} > \frac{1}{\sqrt{N}},$$

ou melhor,

$$\langle \psi_G | i_0 \rangle > \langle \psi | i_0 \rangle.$$

Como a função  $\arccos$  é decrescente no intervalo  $[-1, 1]$ , a desigualdade acima é equivalente a

$$\arccos(\langle \psi_G | i_0 \rangle) < \arccos(\langle \psi | i_0 \rangle).$$

Da Proposição 1,  $|\psi_G\rangle \in \Omega$  e, de (51), sabemos que a rotação produzida por  $G$  é, no máximo, de  $\pi/2$  rad. Portanto, usando a desigualdade acima, a única possibilidade é que a rotação de  $|\psi\rangle$  seja em direção a  $|i_0\rangle$ . ■

**PROPOSIÇÃO 4** *A aplicação de  $G$  sobre  $|\psi_{G^n}\rangle$ , para todo  $n \in \mathbb{N}$ , mantém o mesmo sentido de rotação quando  $G$  é aplicado sobre  $|\psi\rangle$ .*

*Prova.* Pelas Proposições 1, 2 e 3, já sabemos que, quando aplicamos o operador  $G$  sobre o estado  $|\psi_{G^n}\rangle$ , temos apenas duas possibilidades:  $G(G^n|\psi\rangle)$  é um estado resultante de uma rotação de  $\theta$  rad, em  $\Omega$ , no sentido horário ou anti-horário. Se demonstrarmos que, para todo  $n \in \mathbb{N}$ ,

$$G(G^n|\psi\rangle) \neq G^{n-1}|\psi\rangle,$$

poderemos concluir que a rotação mantém o mesmo sentido quando  $G$  é aplicado sobre  $|\psi\rangle$ . A demonstração será, portanto, por indução. Inicialmente, mostremos que

$$G(G^1|\psi\rangle) \neq G^0|\psi\rangle,$$

ou seja,

$$G|\psi_G\rangle \neq |\psi\rangle.$$

Usando (45) e (50), podemos calcular  $G|\psi_G\rangle$ :

$$\begin{aligned} G|\psi_G\rangle &= G\left(\frac{N-4}{N}|\psi\rangle + \frac{2}{\sqrt{N}}|i_0\rangle\right) \\ &= \frac{N-4}{N}G|\psi\rangle + \frac{2}{\sqrt{N}}G|i_0\rangle \\ &= \frac{N-4}{N}\left(\frac{N-4}{N}|\psi\rangle + \frac{2}{\sqrt{N}}|i_0\rangle\right) + \frac{2}{\sqrt{N}}\left(-\frac{2}{\sqrt{N}}|\psi\rangle + |i_0\rangle\right) \\ &= \left(\frac{N-4}{N}\right)^2|\psi\rangle + \frac{2N-8}{N\sqrt{N}}|i_0\rangle - \frac{4}{N}|\psi\rangle + \frac{2}{\sqrt{N}}|i_0\rangle \\ &= \left(\left(\frac{N-4}{N}\right)^2 - \frac{4}{N}\right)|\psi\rangle + \frac{4N-8}{N\sqrt{N}}|i_0\rangle. \end{aligned}$$

Para  $N > 2$ , este estado é diferente de  $|\psi\rangle$ . Suponhamos agora que, para um dado  $k \in \mathbb{N}$ ,

$$G(G^k|\psi\rangle) \neq G^{k-1}|\psi\rangle.$$

Como  $G$  é um operador unitário, podemos aplicá-lo nos dois lados da expressão acima e ainda obter estados distintos, isto é,

$$G(G^{k+1}|\psi\rangle) \neq G^k|\psi\rangle.$$

Isso conclui a indução (dê um exemplo mostrando que a conclusão da indução só é possível, porque  $G$  é um operador unitário). ■

Conclusão: a aplicação de  $G^k$  sobre  $|\psi\rangle$  produz uma rotação de  $k\theta$  rad em direção a  $|i_0\rangle$ , no subespaço gerado por  $|\psi\rangle$  e  $|i_0\rangle$ , para todo  $k \in \mathbb{N}$ .

Consideremos, então, o “custo” do algoritmo de Grover. De forma mais precisa, devemos calcular o número de vezes  $k$  que o operador  $G$  deve ser aplicado para que o estado  $G^k|\psi\rangle$  torne-se o mais próximo do estado  $|i_0\rangle$ . Dito de outra forma, queremos saber que valor de  $k$  faz com que o ângulo entre  $|i_0\rangle$  e  $G^k|\psi\rangle$  seja o mais próximo de zero (Figura 20). Admitindo que  $k$  seja um número real, podemos representar matematicamente o problema acima através da seguinte equação:

$$\arccos(\langle\psi|i_0\rangle) - k\theta = 0. \quad (52)$$

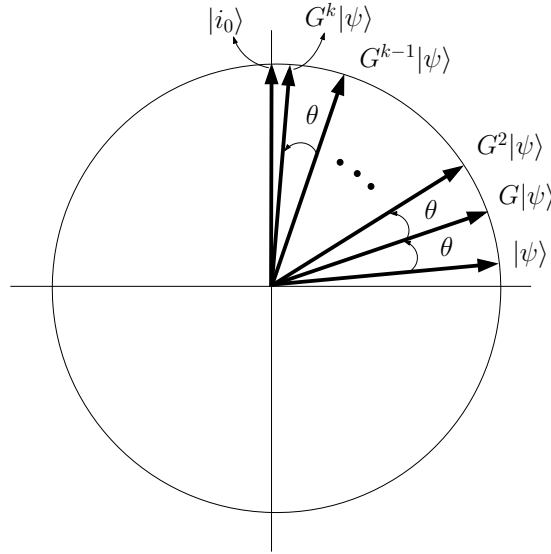


Figura 20: Aplicações sucessivas do operador  $G$ .

De (51), já sabemos que o ângulo  $\theta$  entre  $|\psi\rangle$  e  $G|\psi\rangle$  é

$$\theta = \arccos\left(\frac{N-2}{N}\right). \quad (53)$$

Substituindo (36) e (53) em (52), obtemos:

$$\arccos\left(\frac{1}{\sqrt{N}}\right) - k \arccos\left(\frac{N-2}{N}\right) = 0.$$

Isolando  $k$ , temos:

$$k = \frac{\arccos\left(\frac{1}{\sqrt{N}}\right)}{\arccos\left(\frac{N-2}{N}\right)}. \quad (54)$$

Para sabermos a ordem de grandeza de  $k$ , inicialmente, “comparemos”  $k$  com  $N$ . Calculando o limite, temos:

$$\lim_{N \rightarrow \infty} \frac{k}{N} = 0.$$

Ou seja,  $k$  é “menor” do que  $N$ , para valores grandes de  $N$ . Calculemos, então, o seguinte:

$$\lim_{N \rightarrow \infty} \frac{k}{\log_2(N)} = \infty.$$

Neste caso,  $k$  é “maior” do que  $\log_2(N)$ , para valores grandes de  $N$ . Tentando um valor “intermediário”, obtemos:

$$\lim_{N \rightarrow \infty} \frac{k}{\sqrt{N}} = \frac{\pi}{4}.$$

Isso significa que, para valores suficientemente grandes de  $N$ , o número de vezes que o operador  $G$  deve ser aplicado é, no máximo,  $\sqrt{N}$  vezes.

Esse é o resultado que tínhamos enunciado no início do capítulo. Na próxima seção, daremos um exemplo usando uma lista com 8 elementos.

EXERCÍCIO 3.6 Calcule os três limites acima.

### 3.4 Exemplo: N=8

Apliquemos o algoritmo de Grover em uma lista com  $N = 8$  elementos. O primeiro registrador terá, portanto, 3 q-bits. A primeira pergunta é: quantas aplicações do operador  $G$  devem ser utilizadas? Usando (54), obtemos:

$$k = \frac{\arccos\left(\frac{1}{\sqrt{8}}\right)}{\arccos\left(\frac{8-2}{8}\right)} \cong 1,67.$$

Para que o estado resultante da última aplicação de  $G$  esteja o mais próximo de  $|i_0\rangle$ , devemos aplicar 2 vezes o operador  $G$  (Figura 21). A idéia é arredondar o valor de  $k$  para o inteiro mais próximo.

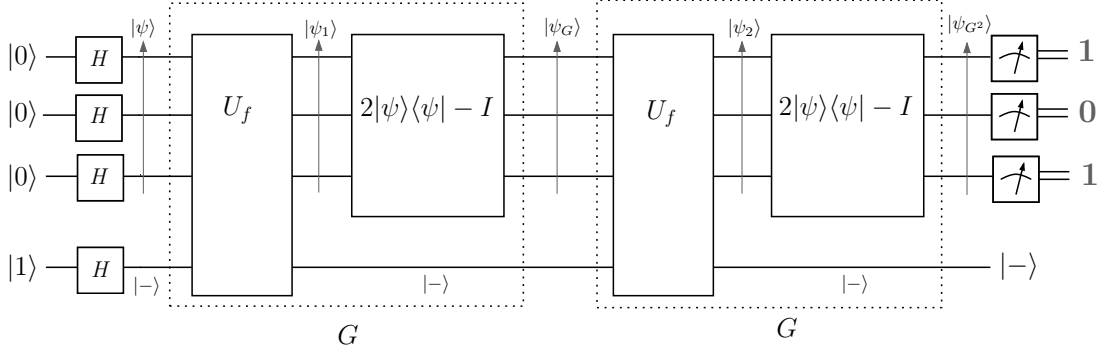


Figura 21: Duas aplicações do operador  $G$ , para  $N = 8$  e  $i_0 = 101$ .

Antes da aplicação de  $G$ , o algoritmo cria uma superposição  $|\psi\rangle$  formada por todos os elementos da base computacional associada ao problema. Isso é obtido aplicando o operador  $H$  (17) sobre cada q-bit do estado inicial  $|000\rangle$  do primeiro registrador, isto é,

$$\begin{aligned}
 |\psi\rangle &= H|0\rangle \otimes H|0\rangle \otimes H|0\rangle \\
 &= \left( \frac{1}{\sqrt{2}}(|0\rangle + |1\rangle) \right) \otimes \left( \frac{1}{\sqrt{2}}(|0\rangle + |1\rangle) \right) \otimes \left( \frac{1}{\sqrt{2}}(|0\rangle + |1\rangle) \right) \\
 &= \frac{1}{\sqrt{8}} (|000\rangle + |001\rangle + |010\rangle + |011\rangle + |100\rangle + |101\rangle + |110\rangle + |111\rangle).
 \end{aligned}$$

Em notação decimal, temos:

$$|\psi\rangle = \frac{1}{\sqrt{8}} (|0\rangle + |1\rangle + |2\rangle + |3\rangle + |4\rangle + |5\rangle + |6\rangle + |7\rangle).$$

Supondo que o elemento procurado seja

$$|i_0\rangle = |101\rangle = |5\rangle,$$

o próximo passo é aplicar o operador  $U_f$  sobre o estado  $|\psi\rangle|-\rangle$ . O elemento procurado é, então, o único que tem sua amplitude alterada:

$$\begin{aligned}
 |\psi_1\rangle|-\rangle &= U_f(|\psi\rangle|-\rangle) \\
 &= \left( \frac{|0\rangle + |1\rangle + |2\rangle + |3\rangle + |4\rangle - |5\rangle + |6\rangle + |7\rangle}{\sqrt{8}} \right) |-\rangle.
 \end{aligned}$$

Em seguida, o operador  $2|\psi\rangle\langle\psi| - I$  é aplicado sobre o estado  $|\psi_1\rangle$ , produzindo o estado  $|\psi_G\rangle$ :

$$\begin{aligned}
 |\psi_G\rangle &= (2|\psi\rangle\langle\psi| - I) |\psi_1\rangle \\
 &= (2\langle\psi|\psi_1\rangle) |\psi\rangle - |\psi_1\rangle \\
 &= \frac{3}{2} |\psi\rangle - |\psi_1\rangle \\
 &= \frac{1}{2\sqrt{8}} (|0\rangle + |1\rangle + |2\rangle + |3\rangle + |4\rangle + |6\rangle + |7\rangle) + \frac{5}{2\sqrt{8}} |5\rangle.
 \end{aligned}$$



Se medirmos este estado, a probabilidade de se obter o elemento procurado é

$$\left(\frac{5}{2\sqrt{8}}\right)^2 \cong 78,12\%.$$

Entretanto, já sabemos que devemos aplicar 2 vezes o operador  $G$ . Aplicando o operador  $U_f$  sobre o estado  $|\psi_G\rangle|-\rangle$ , obtemos:

$$\begin{aligned} |\psi_2\rangle|-\rangle &= U_f(|\psi_G\rangle|-\rangle) \\ &= \left(\frac{1}{2\sqrt{8}}(|0\rangle + |1\rangle + |2\rangle + |3\rangle + |4\rangle + |6\rangle + |7\rangle) - \frac{5}{2\sqrt{8}}|5\rangle\right)|-\rangle. \end{aligned}$$

Novamente, o elemento procurado é o único que tem sua amplitude alterada. Aplicando o operador  $2|\psi\rangle\langle\psi| - I$  sobre  $|\psi_2\rangle$ , temos:

$$\begin{aligned} |\psi_{G^2}\rangle &= (2|\psi\rangle\langle\psi| - I)|\psi_2\rangle \\ &= (2\langle\psi|\psi_2\rangle)|\psi\rangle - |\psi_2\rangle \\ &= \frac{1}{4}|\psi\rangle - |\psi_2\rangle \\ &= \left(\frac{-1}{4\sqrt{8}}(|0\rangle + |1\rangle + |2\rangle + |3\rangle + |4\rangle + |6\rangle + |7\rangle) + \frac{11}{4\sqrt{8}}|5\rangle\right)|-\rangle. \end{aligned}$$

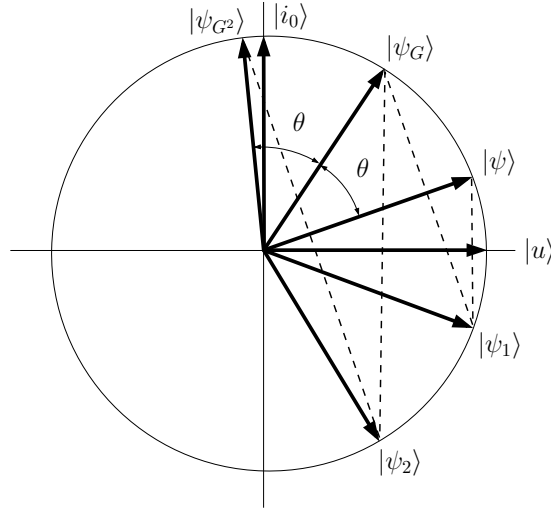


Figura 22: Duas aplicações do operador  $G$ , para  $N = 8$  e  $i_0 = 101$ .

Fazendo uma medida do estado  $|\psi_{G^2}\rangle$ , obtemos o elemento procurado com probabilidade de

$$\left(\frac{11}{4\sqrt{8}}\right)^2 \cong 94,53\%.$$

Na Figura 22, representamos geometricamente os passos do algoritmo resultantes de duas aplicações do operador  $G$ .

EXERCÍCIO 3.7 Usando a Figura 22, dê uma explicação para os sinais das amplitudes da superposição dada em  $|\psi_{G^2}\rangle$ .

### 3.5 Circuitos Quânticos para o Operador $G$

Nesta seção, iremos decompor o operador  $G$  em termos de portas de 1 q-bit e portas CNOT. Essa decomposição mostrará como poderia ser uma implementação prática do operador  $G$ .

### 3.5.1 Circuito quântico para o operador $U_f$

Recordemos que a função  $f$  (21) age como um oráculo para identificar o elemento procurado  $i_0$ . De forma similar, o operador  $U_f$  também pode ser imaginado como um oráculo. Nesse sentido, ele é um operador diferente do operador  $2|\psi\rangle\langle\psi| - I$ , pois deve ser “preparado” para a identificação do estado  $|i_0\rangle$ . O operador  $U_f$  pode ser representado por uma porta Toffoli generalizada com  $n$  q-bits de controle, 1 q-bit alvo no estado  $|-\rangle$  e 2 portas  $X$  atuando no  $i$ -ésimo q-bit de controle, sempre que o  $i$ -ésimo dígito binário de  $i_0$  for 0. Por exemplo, o circuito quântico para o operador  $U_f$ , usado no exemplo dado na Seção 3.4 ( $n = 3$  e  $i_0 = 101$ ), tem a forma apresentada na Figura 23. Se o elemento procurado fosse 111, nenhuma porta  $X$  seria usada. Caso fosse 000, 3 pares de portas  $X$  seriam usadas, um par em cada q-bit de controle.

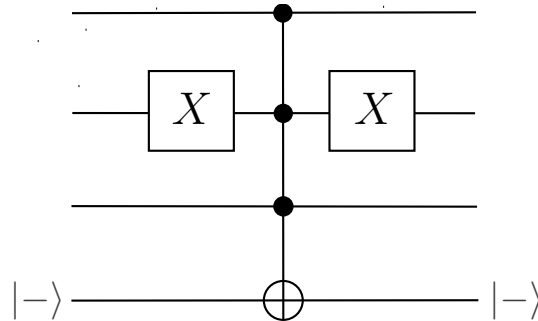


Figura 23: Circuito quântico para o operador  $U_f$  ( $n = 3$  e  $i_0 = 101$ ).

### 3.5.2 Circuito quântico para o operador $2|\psi\rangle\langle\psi| - I$

Consideremos, agora, a decomposição do operador  $2|\psi\rangle\langle\psi| - I$ . Usando

$$|\psi\rangle = H^{\otimes n}|0\rangle \text{ e } \langle\psi| = \langle 0|(H^{\otimes n})^\dagger,$$

temos, então,

$$\begin{aligned}
2|\psi\rangle\langle\psi| - I &= 2H^{\otimes n}(|0\rangle\langle 0|)(H^{\otimes n})^\dagger - I \\
&= H^{\otimes n}(2|0\rangle\langle 0|)(H^{\otimes n})^\dagger - H^{\otimes n}(H^{\otimes n})^\dagger \\
&= H^{\otimes n}(2|0\rangle\langle 0| - I)(H^{\otimes n})^\dagger \\
&= H^{\otimes n}(2|0\rangle\langle 0| - I)H^{\otimes n}.
\end{aligned} \tag{55}$$

Observe que  $H^{\otimes n}$  é uma matriz simétrica com apenas entradas reais. Portanto,  $(H^{\otimes n})^\dagger = H^{\otimes n}$ .

**EXERCÍCIO 3.8** Demonstre que o produto tensorial de matrizes simétricas é uma matriz simétrica.

A equação (55) mostra que, para obtermos o circuito quântico do operador  $2|\psi\rangle\langle\psi| - I$ , basta considerarmos o operador  $2|0\rangle\langle 0| - I$ . Esse operador faz uma reflexão em relação ao estado  $|0\rangle$ . O circuito para esse operador é dado na Figura 24. Na Tabela 1, representamos a ação desse operador sobre o estado  $|0\rangle$ .

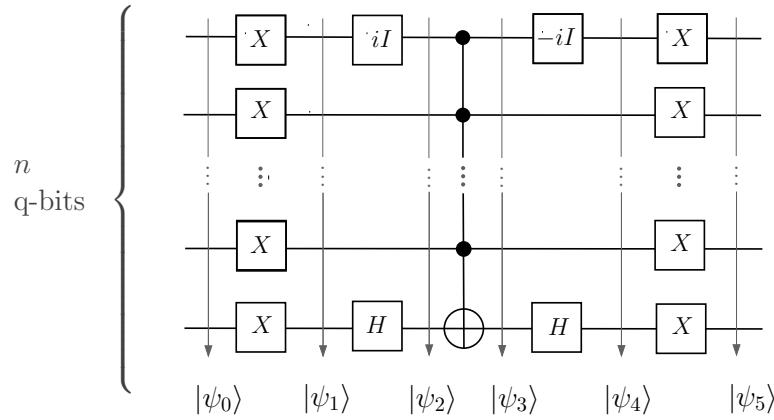


Figura 24: Circuito quântico para o operador  $2|0\rangle\langle 0| - I$ .

Observe que a única porta que atua nos  $n$  q-bits ao mesmo tempo, na Figura 24, é a porta Toffoli generalizada (Figura 11).

$ \psi_0\rangle$	$ \psi_1\rangle$	$ \psi_2\rangle$	$ \psi_3\rangle$	$ \psi_4\rangle$	$ \psi_5\rangle$
$ 0\rangle$	$ 1\rangle$	$i 1\rangle$	$i 1\rangle$	$(-i \cdot i) 1\rangle$	$ 0\rangle$
$ 0\rangle$	$ 1\rangle$	$ 1\rangle$	$ 1\rangle$	$ 1\rangle$	$ 0\rangle$
$\vdots$	$\vdots$	$\vdots$	$\vdots$	$\vdots$	$\vdots$
$ 0\rangle$	$ 1\rangle$	$ 1\rangle$	$ 1\rangle$	$ 1\rangle$	$ 0\rangle$
$ 0\rangle$	$ 1\rangle$	$ -\rangle$	$- -\rangle$	$ 1\rangle$	$ 0\rangle$

Tabela 1: Ação do operador  $2|0\rangle\langle 0| - I$  no estado  $|0\rangle$  da base computacional.

EXERCÍCIO 3.9 Teste a ação do circuito da Figura 24 em outros estados da base computacional para perceber que, para qualquer entrada  $|j\rangle$ , com  $0 < j < N$ , a saída será sempre  $-|j\rangle$ .

## Referências

- Aharonov, D. (1998), Quantum computation, *in* D. Stauffer, ed., ‘Annual Reviews of Computational Physics’, Vol. VI, World Scientific, Jerusalem, pp. 1–78. (quant-ph/9812037).
- Barenco, A., Bennett, C. H., Cleve, R., DiVincenzo, D. P., Margolus, N., Shor, P. W., Sleator, T., Smolin, J. A. & Weinfurter, H. (1995), ‘Elementary gates for quantum computation’, *Physical Review A* **A52**(5), 3457–3487. (quant-ph/9503016).
- Bennett, C. H., Bernstein, E., Brassard, G. & Vazirani, U. (1997), ‘Strengths and weaknesses of quantum computing’, *SIAM Journal on Computing* **26**(5), 1510–1523.
- Bernstein, E. & Vazirani, U. (1997), ‘Quantum complexity theory’, *SIAM Journal on Computing* **26**(5), 1411–1473.
- Boyer, M., Brassard, G., Hoyer, P. & Tapp, A. (1998), ‘Tight bounds on quantum searching’, *Fortschritte der Physik* **46**(4-5), 493–506.  
**URL:** [citeseer.ist.psu.edu/boyer98tight.htm](http://citeseer.ist.psu.edu/boyer98tight.htm)
- Deutsch, D. (1985), Quantum theory, the church-turing principle and the universal quantum computer, *in* ‘Proceedings of the Royal Society of London. Series A’, Vol. 400, Royal Society, London, pp. 97–117.  
**URL:** [citeseer.ist.psu.edu/deutsch85quantum.html](http://citeseer.ist.psu.edu/deutsch85quantum.html)
- Deutsch, D. & Jozsa, R. (1992), Rapid solution of problems by quantum computation, *in* ‘Proceedings of the Royal Society of London. Series A’, Vol. 439, Royal Society, London, pp. 553–558.
- Grover, L. K. (1996), A fast quantum mechanical algorithm for database search, *in* ‘Proc. 28th Annual ACM Symposium on the Theory of Computing’, pp. 212–219. (quant-ph/9605043).  
**URL:** [arxiv.org](http://arxiv.org)
- Grover, L. K. (1997), ‘Quantum mechanics helps in searching for a needle in a haystack’, *Physical Review Letter* **79**, 325–328. (quant-ph/9706033).  
**URL:** [arxiv.org](http://arxiv.org)
- Hirvensalo, M. (2001), *Quantum Computing*, Springer, New York.

- Nielsen, M. A. & Chuang, I. L. (2000), *Quantum Computation and Quantum Information*, Cambridge University Press, Cambridge.
- Papadimitriou, C. H. (1994), *Computational Complexity*, Addison Wesley Pub. Co., Massachusetts.
- Pittenger, A. O. (2001), *An Introduction to Quantum Computing Algorithms*, Birkhauser, Boston.
- Portugal, R., Lavor, C. C., Carvalho, L. M. & Maculan, N. (2004), *Uma Introdução à Computação Quântica*, Vol. 8 of *Notas em Matemática Aplicada*, 1st edn, Sociedade Brasileira de Matemática Aplicada e Computacional (SBMAC), São Carlos. ISBN: 8586883174.
- Preskill, J. (1998), Quantum information and computation. Lecture Notes, California Institute of Technology.
- Shor, P. W. (1994), Algorithms for quantum computation: discrete logarithm and factoring, *in* ‘Proc. 35th Annual Symposium on Foundations of Computer Science’, pp. 124–134.
- Shor, P. W. (1997), ‘Polynomial-time algorithms for prime factorization and discrete logarithms on a quantum computer’, *SIAM Journal on Computing* **26**(5), 1484 – 1509.
- Simon, D. R. (1997), ‘On the power of quantum computation’, *SIAM Journal on Computing* **26**(5), 1474–1483.
- Vandersypen, L. M., Steffen, M., Breyta, G., Yannoni, C. S., Sherwood, M. H. & Chuang, I. L. (2001), ‘Experimental realization of Shor’s quantum factoring algorithm using nuclear magnetic resonance’, *Nature* **414**(6866), 883–887.